

ISSN 0389-4010
UDC 536. 629. 76:
629. 78

航空宇宙技術研究所報告

TECHNICAL REPORT OF NATIONAL AEROSPACE LABORATORY

TR-853

低推力貯蔵性推進薬エンジンの高空性能

日下和夫・黒田行郎・佐藤政裕

只野真・飯原重保

1985年2月

航空宇宙技術研究所
NATIONAL AEROSPACE LABORATORY

項目	担当者
全体計画	宮島 博*, 井町 宇一**
供試体計画	毛呂明夫*, 中村昌邦**
実験・計測 データ整理	熊谷達夫*, 木皿且人* 佐藤和雄*, 阿部登* 須藤孝幸*

* 角田支所

** 石川島播磨重工業(株)

低推力貯蔵性推進薬エンジンの高空性能*

日下和夫** 黒田行郎** 佐藤政裕**

只野真** 飯原重保***

Performance of A Low Thrust Storable Engine With Large Area Ratio Nozzles

Kazuo KUSAKA, Yukio KURODA, Masahiro SATO

Makoto TADANO, and Shigeyasu IIHARA

ABSTRACT

High altitude simulation tests of a storable engine with a thrust of 500 N and a chamber pressure of 700 kpa were conducted to evaluate the nozzle performance at low thrust and low chamber pressure. Since the available facility did not allow tests of such an engine, an auxiliary annular ejector/diffuser system was developed. Two injectors, one with 15% fuel film cooling and the other 25%, were used. A comparison of performances between nitrogen tetroxide/monomethyl hydrazine (NTO/MMH) and nitrogen tetroxide/hydrazine propellant systems was made. A vacuum specific impulse of 305 seconds was obtained with NTO/MMH and a 150 : 1 area ratio nozzle at a energy release efficiency of 95%. By altering fuel from MMH to hydrazine, a peak specific impulse of 317 seconds was measured with 25% film cooling and a 150 : 1 nozzle. Large area ratio specific impulses can be predicted generally within 0.5% when energy release efficiencies are evaluated from sea level thrust measurements with a low area ratio nozzle.

1. まえがき

人工衛星の大型化、多様化に伴ってアポジ推進などの軌道変換用の主推進系に貯蔵性二液システムを用いることの有用性が明らかになってきた。^{1,2)} 我が国でも昭和60年代の後半に打ち上げが予定されている2トン級静止衛星には二液システムの採用が検討されている。米国およびヨーロッパにはライト実績または十分な地上試験を経たエンジンがある。³⁾

我が国においてはN-1ロケットの第2段用LE-3エンジンの開発経験はあるものの、液体アポジエンジンに適用可能な低推力レベルのエンジンの研究開発の実績はない。二液システムの実現のための重要な要素のひとつは、エンジンが目標の比推力を達成し、十分な耐久性を有することである。

本研究の主目的は、我が国の現在の技術水準でどこまでの性能が達成可能かを試作、試験によって確かめる事である。これによって性能向上と耐久性の向上をはかるための基礎データを得ようとした。また、比推力性能を求めるための高空性能試験には多額の費用を要することを考慮して、海面高度試験デ

* 昭和60年1月22日受付

** 角田支所

*** 石川島播磨重工業株

ータとノズル性能計算による比推力の予測の有効性を検討することも目的とした。

真空中で高い比推力を得るには燃焼効率の向上の他に、大きな膨脹比のノズルを用いること、高エネルギーの推進薬を用いることなどが考えられる。燃焼室の耐久性を損なわないで 100 % に近い数 % の燃焼効率の向上をはかることは容易ではないが、後の二者については確実に比推力の向上が期待できる。本報では、タンク加圧式の推進系を念頭において、最初の実験用エンジンとして四酸化窒素 / モノメチルヒドラジン (N_2O_4/MMH) を推進薬とする推力 500 N, 燃焼室圧 700 KPa, ノズル開口比 150 の諸元を設定した。低燃焼圧、高膨張エンジンの試験用の補助エゼクタ、ならびに低推力計測システムの設計および試験成績について最初に述べ、次に真空比推力の測定結果を示す。また、MMH よりも高エネルギーでしかも取扱いが比較的容易であるヒドラジン (N_2H_4) を用いたときの比推力を MMH のそれと比較する。最後に実験結果とノズル性能計算との比較検討をおこなう。

2. 実験装置

加圧供給式推進システムにおいては、推進薬タンクの構造重量とエンジン比推力とのトレードオフから、一般に燃焼圧力の低い点がシステム上の最適な条件となる。燃焼圧力の低い高膨張エンジン試験には環境圧力を非常に低くしないとノズルのフルフローが確保されないため、排気装置には高い性能が要求される。また、500 ~ 1000 N レベルの低推力を測定するための装置については我々は過去に経験がなかった。本節では、新規に必要となった排気装置および推力計測装置の設計と性能について述べ、併せて、推進薬供給装置についても簡単にふれる。

2.1 排気装置

2.1.1 排気装置の設計検討

表 1 に排気装置の設計のために設定したエンジン諸元と排気装置に対する要求条件を示す。ノズル開口面積比 200 : 1 までのエンジン試験が可能となるようにした。このとき、ノズル出口壁面静圧は 0.4 KPa (約 3 Torr) となる。排気装置に対する要求は、

表 1 エンジン設計諸元と設備設計要求

THRUSTER DATA		
PROPELLANT	N_2O_4/MMH	
THRUST	N(KGF)	490(50)
CHAMBER PRESS.	KPA(KG/CM ² A)	686(7.0)
MIXTURE RATIO		1.65
PROPELLANT FLOW RATE	G/S	161
NOZZLE THROAT DIAMETER	MM	22.4
NOZZLE AREA RATIO		200:1
NOZZLE EXIT WALL PR.	KPA(TORR)	0.39(3)
MINIMUM FIRING DURATION	S	5.0
MAXIMUM FIRING DURATION	S	50.

EXHAUST SYSTEM DESIGN REQUIREMENT		
DIFFUSER INLET DIAMETER	MM	400
PREIGNITION CAPSULE PR.	KPA(TORR)	<0.8(6)
STEADY CAPSULE PR.	KPA(TORR)	<0.4(3)

THRUST MEASURING SYSTEM DESIGN REQUIREMENT		
MAXIMUM LOAD	N(KGF)	1078(110)
OVERALL PRECISION	%	<0.2
CALIBRATION IN VACUUM & AMBIENT PRESSURE		

エンジン着火前の低圧室圧力 0.8 KPa 以下、定常燃焼時の低圧室圧力 0.4 KPa 以下という値となつた。前者はエンジン着火直後からノズルがフルフローとなるための条件である。高膨張エンジンの比推力を求めるためには必ずしも長秒時の燃焼試験を必要としないし、また、本格的な耐熱材料の燃焼室を用いないで、通常の金属燃焼室をヒートシンクとして用いた短秒時試験によって比推力を求めることができる。このために必要な条件が着火前低圧室圧力 0.8 KPa 以下という値である。

図 1 に航空宇宙技術研究所のロケットエンジン高空性能試験設備⁴⁾の排気装置の略図を示す。蒸気エゼクタ系の主要なデータを同図に示すが、蒸気流出後 15 秒間は低圧室の急速な減圧を防ぐためバイパス流路から除々に減圧し、低圧室圧が約 13.3 KPa (100 Torr) のときに排気系の仕切弁を開とする。蒸気流出後 20 秒後にはデフューザ背圧は約 30 Torr (4 KPa) となり、40 秒後には約 25 Torr となる。低流量域における二次流量に対するエゼクタの吸込圧の感度は空気の場合、約 1.4 Torr/kg である。現在まで、必要に応じて供試エンジンに適合するデフ

ューザを設計し、最初に設置したデフューザ内へ挿入して種々のエンジンの高空燃焼試験に対処してきた。今回も、着火前の低圧室圧力の要求(6Torr以下)を外せば、後述するようにセカンドスロートデフューザの設置によって定常時のノズルのフルフローを確保することは可能である。しかし、ノズル出口部とデフューザ入口部とのあいだにできる二次流の最小流路断面積が小さくなるため、低圧室圧力30Torrから6Torrまで減圧するのに約50秒を必

要とする計算となり、ノズルのフルフローを確保するまでに50秒のオーダーの燃焼が必要となる。これはヒートシンク燃焼室を用いたときの燃焼秒時(約5秒)とはほど遠い。以上の事から、今回は、着火前に6Torr以下の低圧室圧力を確保でき、しかも、供試エンジンに適合するデフューザの機能を有する補助エゼクタ装置を設置することにした。

図2にエゼクタ/デフューザの代表的な概念を示す。

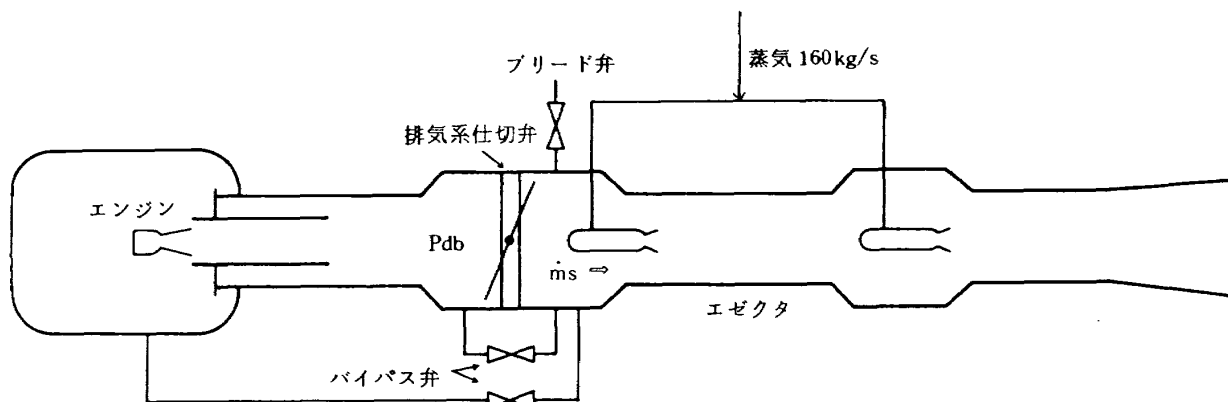


図1 NAL HATS蒸気エゼクタ系

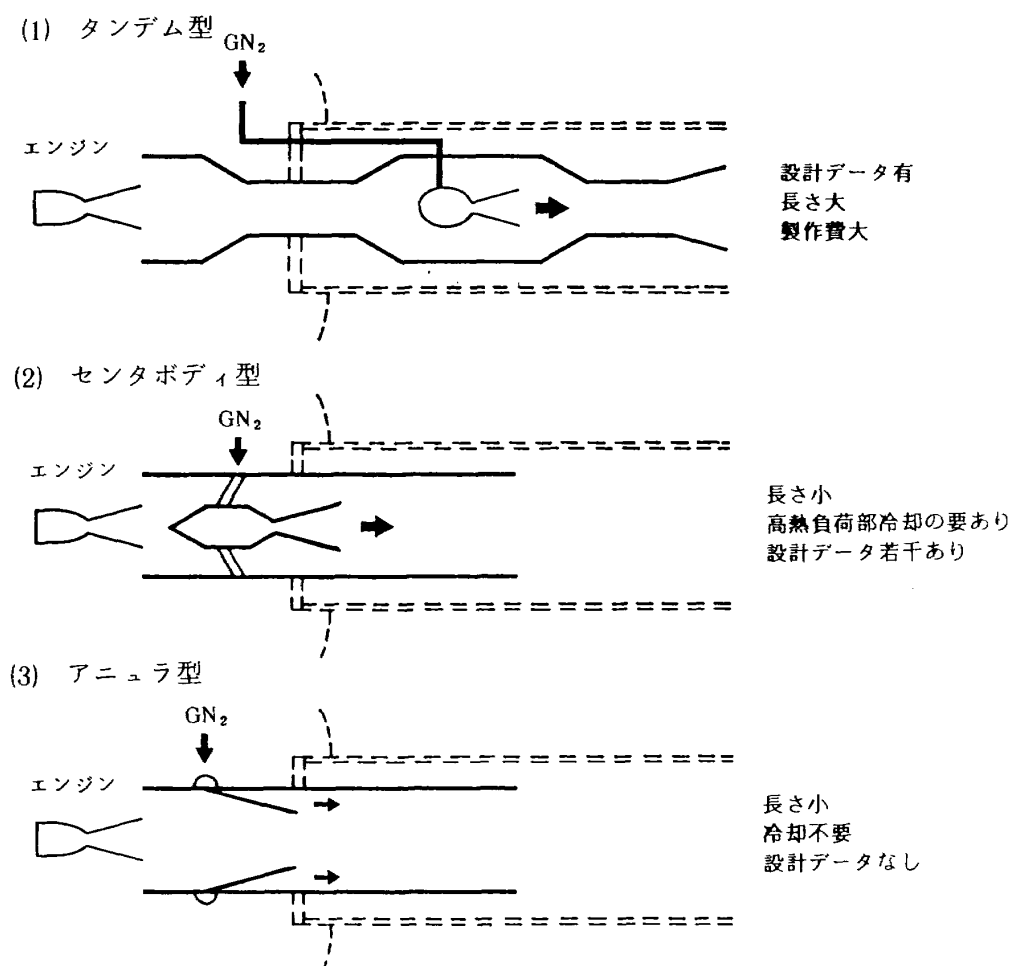


図2 各種エゼクタ/デフューザの概念

(1)のタンデム型は最も直接的であり、設計データも豊富であるが、装置の長さが大となり、デフューザ部、エゼクタ部共に冷却が必要となり、製作費が高くなることが考えられる。(2)のセンタボディ型は、デフューザとエゼクタを一体型としたものである。センタボディ型デフューザに関しては筆者らも若干の試験研究実績があるが⁵⁾、燃焼ガスが直接に衝突するセンタボディの先端部やセンタボディの支持部の冷却設計が容易ではない。(3)のアニュラ型は同様にデフューザとエゼクタを一体型としたものであるが、アニュラノズル部およびその下流の壁面はエゼクタの駆動ガスによって冷却されるため、冷却が不要となる。アニュラエゼクタの設計資料はほとんどなく、流れはきわめて複雑であり、詳細な流れの計算は出来たとしても多大の労力を要する。単純な計算によって設計し、実験的に性能を確認するという従来我々が取ってきた手法がアニュラエゼクタにも有効であるかどうかを調べる事も目的のひとつとしてアニュラエゼクタ / デフューザを選定した。

補助エゼクタ / デフューザの作動モードを図 3 に示す。エンジンの着火前はアニュラノズルをもつエゼクタとして作動する。ここでは、エンジンまわりに水をかけないように、エゼクタの駆動ガスとしては窒素ガスを選定した。エンジンの着火後は駆動用の窒素ガスは壁の方へ押しやられ、エンジンからの超音速の燃焼ガス流に対しては空力的なセカンドスロートを形成する。従って、エンジン燃焼時にはエゼクタとしてよりも、セカンドスロートデフューザとして作動する。

エンジン燃焼時のデフューザのスタートは次のような簡単な方法によって推定する。図 4 に示すようなセカンドスロートデフューザを考える。セカンドスロート断面積はアニュラノズル出口部の駆動ガスと燃焼ガス流の静圧比によって種々の値を取り得る。ここでは定常時の駆動ガスのノズル出口部の静圧は燃焼ガスの静圧以下になるようにした。このようすれば、セカンドスロート断面積としてアニュラノズル出口部の幾何形状から決まる値を用い、これを

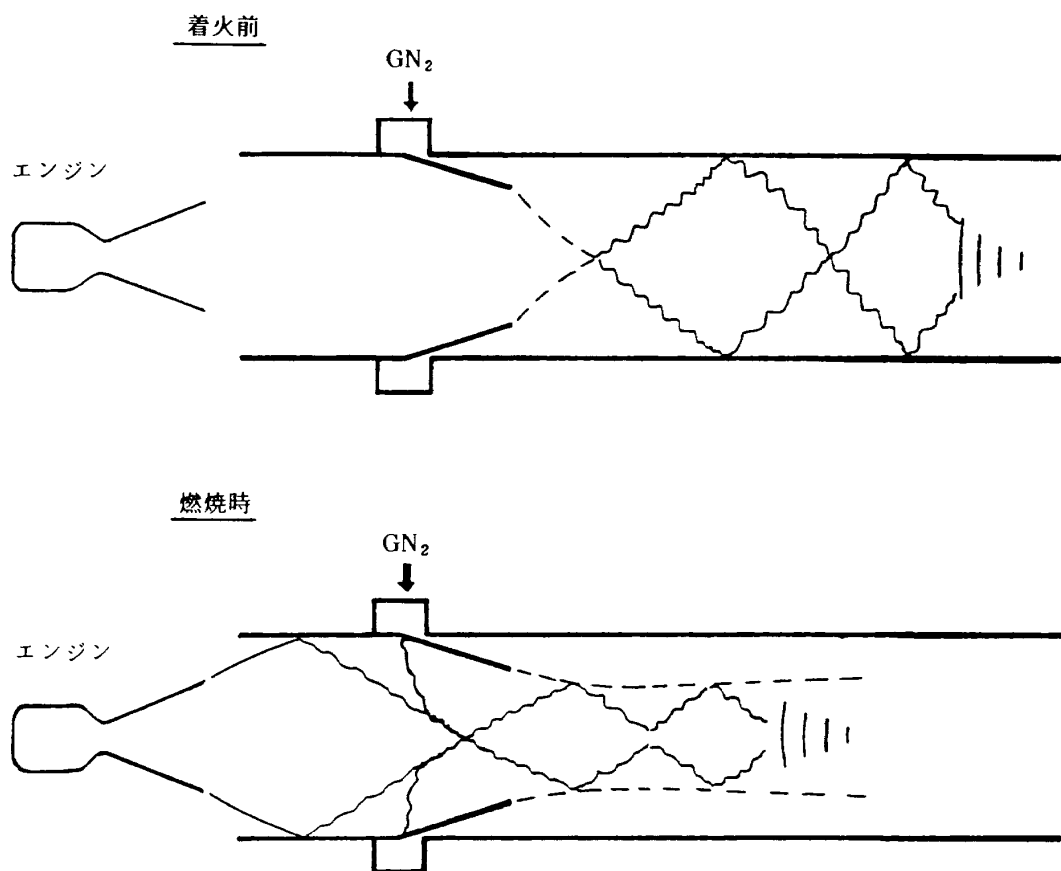


図 3 アニュラ型補助エゼクタの作動モード

一定としても大きな誤りはないものと考えられる。アニュラノズル出口部の径は垂直衝撃波理論より決まる断面積比⁶⁾よりわずかに大きな値として $A_{st}/A_d = 0.64$ から決定した。このように単純化すれば、既開発のデフューザ性能計算プログラム⁶⁾を利用することができる。図 4 にブレークダウン圧力比 (P_c/P_{db})_{br} の計算結果を示す。一般にブレークダウン圧力比とスタート圧力比は同じではないが(ヒステリシス)，ここではその区別をおこなわない。ブレークダウン圧力比はエンジンのスロート面積に対するデフューザ入口面積の比 (A_d/A_{th}) の増加に伴って上昇する。低圧室(3.5 m 径 × 約 5 m 長)の減圧時間が過大とならないように、ノズル出口径とデフューザ入口径との差を十分大きく取り、 $D_d = 40$ cm，すなわち $A_d/A_{th} = 319$ とした。設計点におけるブレークダウン圧力比は $(P_c/P_{db})_{br} = 144$ となり、 $P_c = 686$ KPa とすれば $(P_{db})_{br} = 4.76$ KPa = 35.8 torr となり実際の背圧を 30 torr と安全側に見積ったとしても十分な余裕をもっている。図 4 には一定断面積デフューザ、すなわち、セカンドスロートをもたないデフューザの計算も参考のために示したが、デフューザ入口径を 40 cm とすれば、デフューザ背圧は 23.7 torr としなければならず、実際の燃焼試験時の測定値(27 ~ 30 torr)より低くしないとスタートは得られないようみえる。この設計検討で用いた幾何形状はきわめて単純化したものであり、スタートの確認は最終的には燃焼試験によら

ねばならない。

着火前におけるエゼクタの機能は低圧室を 6 torr 以下にまで減圧することである。この目的には、エゼクタのスロート面積とダクト部の面積との比 $A_d/A_{th,e}$ (図 5 参照) を十分大きく取り、かつ、二次流のない場合のスタートを保証すれば良い。減圧中はエゼクタに対する二次流があることになり、エゼクタは零二次流のスタート圧力比よりも低い圧力比でスタートした状態にある。二次流が零となった時にもスタートしていれば、このときの低圧室圧力は十分低くなる。ここでは、きわめて荒い近似ではあるが、この圧力を開口比が $A_d/A_{th,e}$ の一次元ノズルの出口圧として求め、この値が 1 Torr 以下となる $A_d/A_{th,e}$ の範囲で検討した。 D_d の値はデフューザとしての検討から 40 cm としたので、 $A_{th,e}$ に着目してブレークダウン圧力比の計算をおこなう。アニュラノズル/ダクト系のスタートについての詳細な計算は簡単ではないので、アニュラノズルをスロート面積と出口面積が同一のダクトの中心部においてノズルに置きかえてブレークダウン圧力比の計算をおこなった。⁶⁾ 図 5 にアニュラエゼクタのスロート面積に対してブレークダウン圧力比を示す。ノズル開口面積比はアニュラノズル出口部静圧よりも燃焼ガスの静圧が若干高くなるように決め、この値を 41 として検討した。エゼクタスロート面積 7 cm² ~ 15 cm² の範囲で零二次流時にスタートするために必要なエゼクタマニホールド部の圧力 P_t は 441 ~ 196 KPa

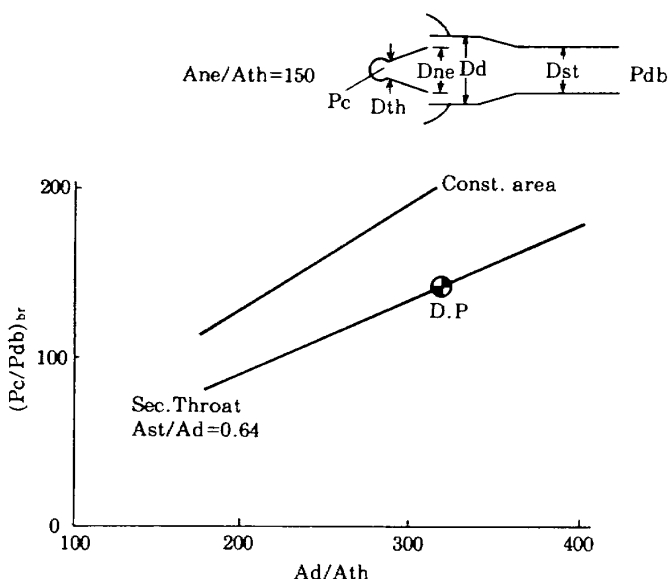


図 4 デフューザとしてのスタート圧力比

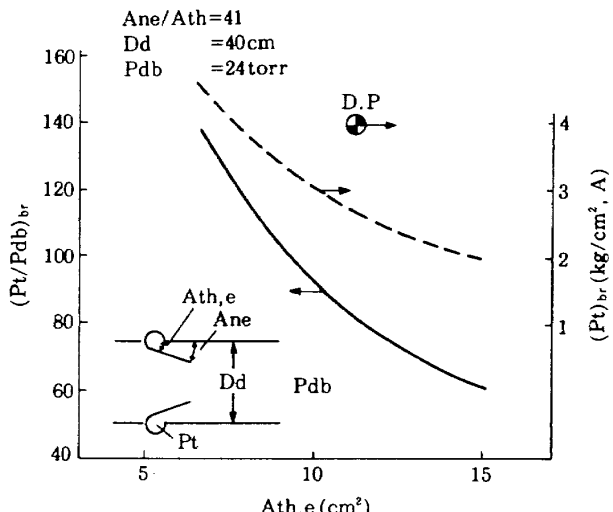


図 5 アニュラエゼクタのスタート圧力比

($4.5 \sim 2 \text{ kgf/cm}^2$, A) であり、このときの所要 GN_2 の流量は約 0.72 kg/s ではほぼ一定となり、既設の設備能力の範囲内にあることがわかった。デフューザ機能の検討の項で前述したセカンドスロートの収縮断面積比の要求からアニュラノズル出口径が決り、これより、アニュラスロートの面積を 11 cm^2 と決定した。設計点 (D.P.) の P_t は多少の余裕をもたせて 392 KPa (4 kgf/cm^2 , A) とした。

図 6 に製作した補助エゼクタ / デフューザを示す。アニュラスロート部のすきまは 1 mm とし、このすきまの製作精度を上げるために、構造上の要求から、12ヶ所の支持部を設け、これをノズルに溶接する構造とした。

2.1.2 排気装置の試験結果

前節で設計の概要を述べた補助エゼクタ / デフューザをアニュラエゼクタとして単体試験をおこない、その後エンジンの高空性能試験に使用した。

エゼクタの単体試験ではアニュラエゼクタのスタートを確認することと、既設の蒸気エゼクタ系と合せたときの適切な作動条件と手順を確立することとした。

表 2 にエゼクタ単体試験結果を示す。表 2 のブリード弁開度は既設蒸気エゼクタ系の不安定⁴⁾を防ぐためのブリード弁(図 1 参照)の開度を示す。補助エゼクタからの窒素ガスが蒸気エゼクタに対して二次流となるので、既設蒸気エゼクタの不安定を起さないで大気に開放されているブリード弁をある程度しほり、補助エゼクタの背圧を下げることが出来る。表のマニホールド圧と背圧の値は補助エゼクタ窒素ガス弁開後 30 秒の値である。窒素ガス弁開後の低圧室圧力の変化とブレークダウン圧力比を同表に示した。ブレークダウン圧力比は窒素ガス弁閉信号後、低圧室圧力が急速に上昇するときのマニホールド圧と背圧との比として求める。表 2 より、低圧室の減圧

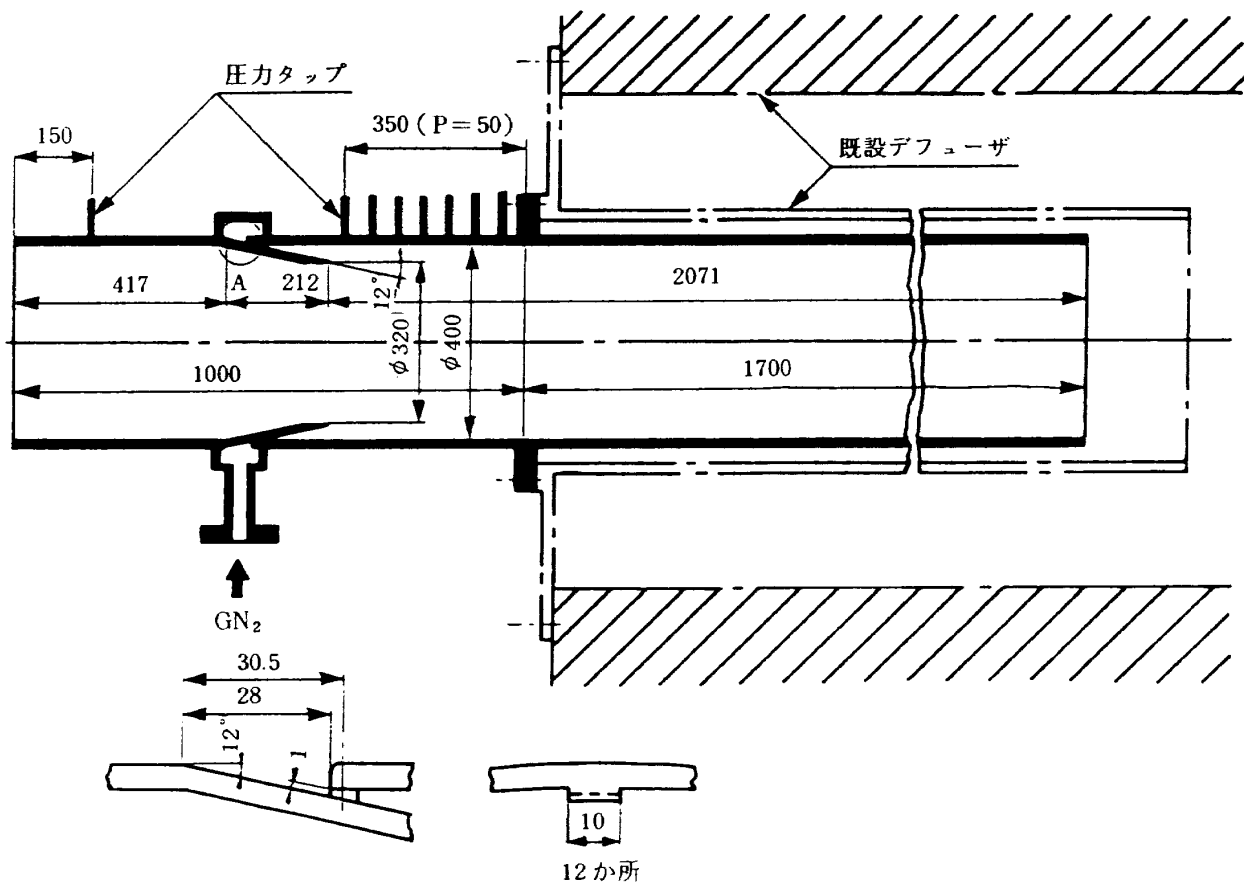


図 6 補助エゼクタ / デフューザの主要寸法

時間はマニホールド圧の関数であり、設計点よりやや高目の490KPa(5 kgf/cm^2 , A)が適当であることがわかる。ブリード弁開度40%で、設定マニホールド圧が 5 kgf/cm^2 , Aの実験番号3036においては、既設蒸気エゼクタのブレークダウンによる背圧振動が観測された。これらのことから、実験番号3034に相当するブリード弁開度60%，設定マニホールド 5 kgf/cm^2 , Aを標準作動条件とした。実測されたブ

レークダウン圧力比は平均87であり、計算値85(図5参照)と良好な一致をしている。図7に標準作動条件における低圧室圧力の変化を示す。補助エゼクタ作動後、約20秒で低圧室圧力は約3Torrとなる

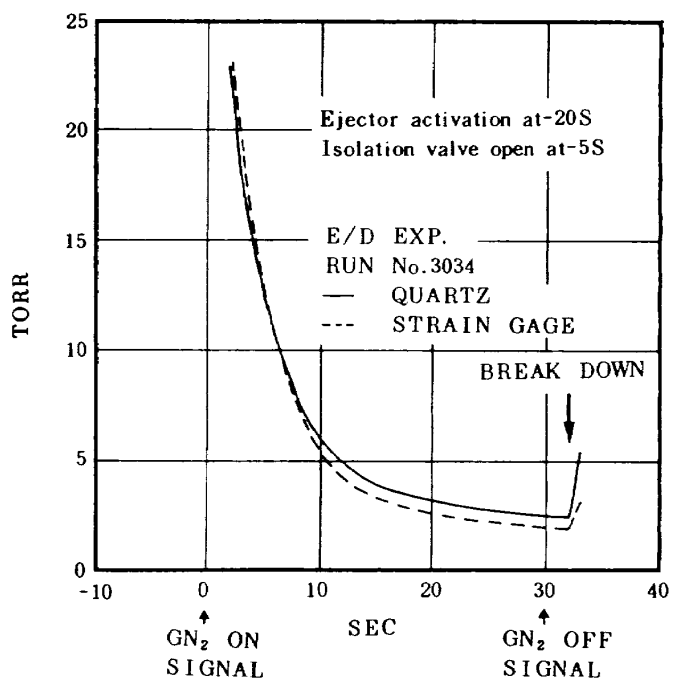


図7 エゼクタ標準作動点における
低圧室圧力の変化

表2 アニュラエゼクタの単体試験結果

RUN No.	BLEED VALVE % OPEN	PRESSURE (kg/cm ²)				
		3032	3033	3034 ^{A)}	3035	3036 ^{B)}
MANIFOLD PRESS.	KG/cm ² A	4.21	3.31	4.99	6.38	5.13
BACK PRESS.	TORR	24.0	21.3	24.0	20.3	18.8
CAPSULE PRESS.						
AT 0 SEC.	TORR	55.0	43.1	43.6	40.0	45.0
10 *	TORR	8.62	8.94	5.80	5.52	5.48
20 *	TORR	3.76	5.07	2.63	2.72	2.38
30 *	TORR	2.83	3.87	1.95	2.34	1.83
BREAK DOWN ^{c)}	PRESS.RATIO	---	92.3	88.7	86.0	88.0
		----				78.3

NOTE:
A) BEST OPERATING CONDITION
B) STEAM EJECTOR BREAK DOWN DUE TO TOO SMALL BLEED
C) MANIFOLD PRESSURE/BACK PRESSURE AT BREAK DOWN
DURING THE MANIFOLD PRESSURE TAIL OFF

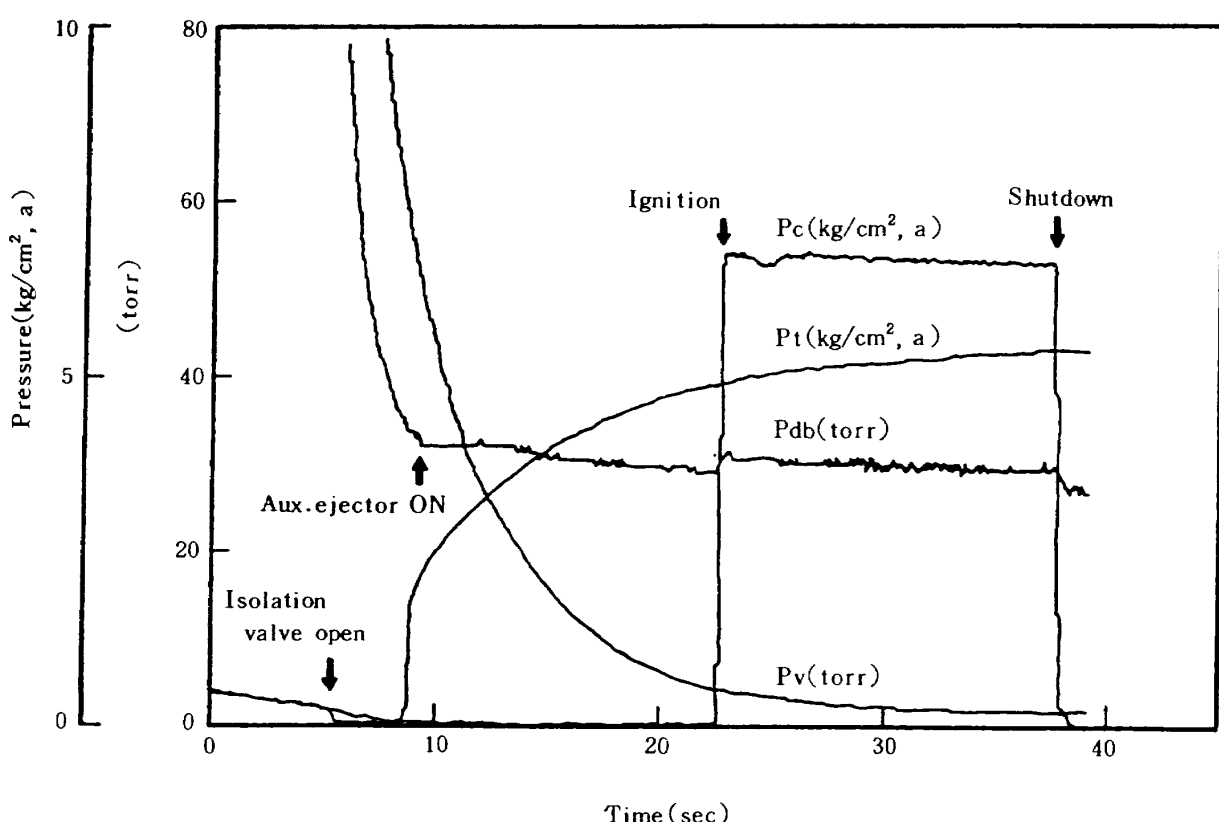


図8 燃焼試験時の排気系各部圧力

ことがわかる。

図 8 に燃焼試験時の排気装置に関する各部の圧力を示す。 P_v は低圧室圧力、 P_c は燃焼室圧力、 P_{db} は補助エゼクタ / デフューザの背圧、 P_t はエゼクタマニホールドの圧力である。エンジンの着火時および停止時に低圧室圧力の急激な変動はみられないことがわかる。これは、エゼクタモードからデフューザモードへ（図 3 参照）、あるいはその逆の作動モードの切換がきわめて円滑におこなわれている事を示すものである。従って、通常のデフューザでみられるようなエンジン停止時の燃焼圧の低下に伴うデフューザのブレーキダウンはみられない。図 4

に示したブレーキダウン圧力比を実験的に求める事はできないが、燃焼圧力の定格レベルにおいて、デフューザがスタートした状態であることは確認された。停止時にデフューザブレーキダウンによる吹きもどり（ブローバック）がない事は、実機用の薄肉ノズルを地上試験で破損する恐れがないという意味で、実用的にきわめて重要である。

2.2 推力計測システム

推力計測システムは較正載荷部、荷重伝達部、ゼロバランス機構部、推力台、支持台ならびに遠隔較正コントロールパネルなどからなる。推力計測シス

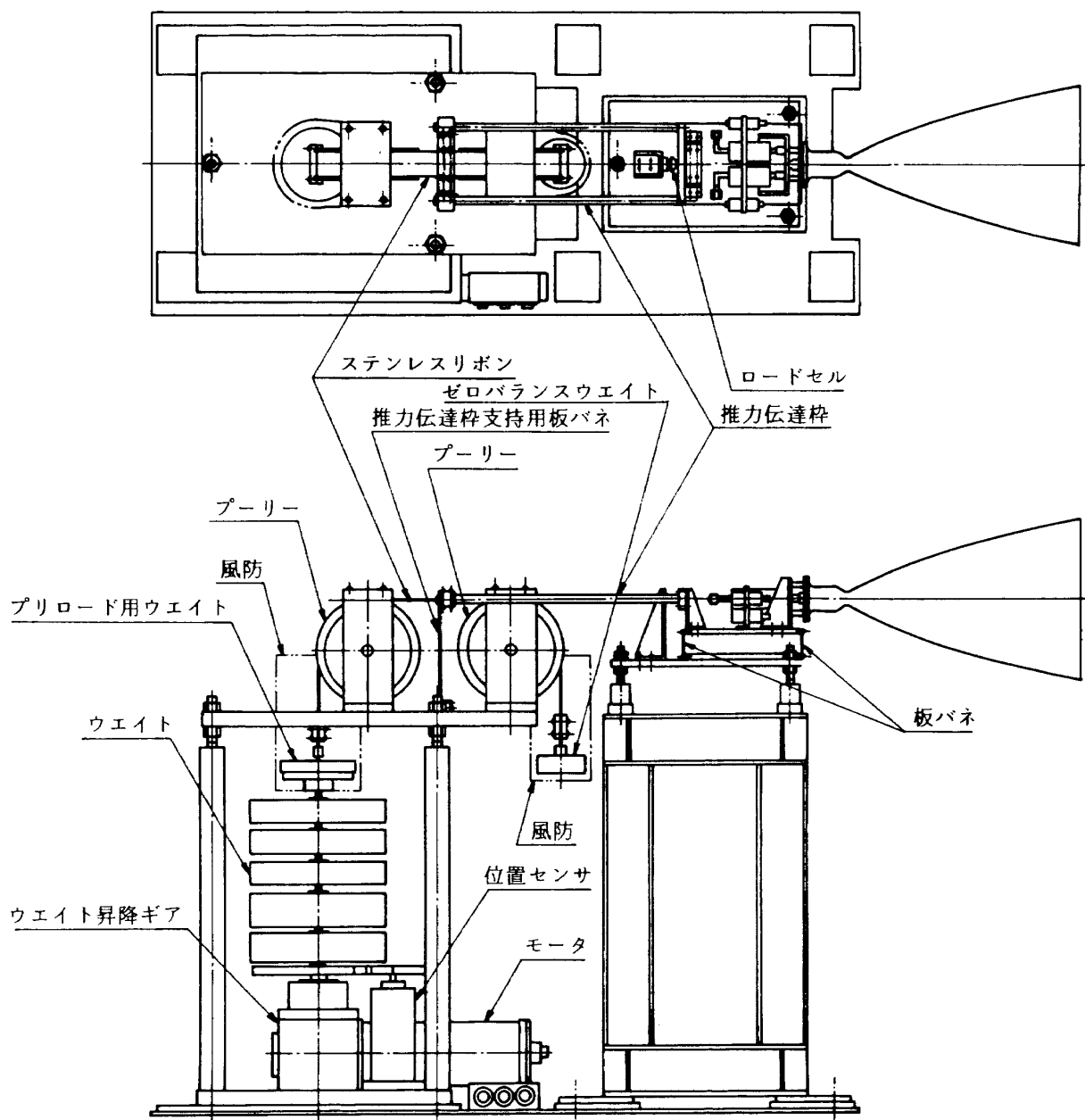


図 9 推力計測システム

テムの略図を図 9 に、また、その主要諸元を表 3 に示す。推力台は 4 枚の板バネによって支持されており、圧力配管の剛性による干渉を防ぐため、圧力変換器は推力台に取りつけた。また、較正荷重はデッドウェイトとし、真空中でも較正がおこなえるようにした。推力計測システムの最大荷重は 1078N(110

表 3 推力計測システム諸元

最大荷重	1078N(110kgf)
較正荷重	(20, 40, 60, 90, 110kgf)
プリロード	(3 kgf)
ウェイト精度	±1/10000
較正精度	±0.2%FS
載荷方式	電動ねじ駆動方式
使用環境圧力	大気圧～10 ⁻² Torr

kgf)であり、要求較正精度は 0.2% 以下である。

表 4 に推力計測システムの較正結果を示す。環境圧の効果は必ずしも明確には出でていないようみえる。従って、要求精度の範囲内では、大気圧における較正で十分であるといえる。また、推進薬の供給配管(フレキシブルチューブ)の圧力の影響は若干認められるものの、較正精度としては 0.2% 以内にはいっている。

図 10 に本報告の実験期間における較正係数の変化を示す。推力 50kgf レベルにおける較正係数のバラツキは 0.2% をこえていないことがわかる。

2.3 推進薬供給装置

推進薬供給装置系統を図 11 に示す。供給装置は大気圧燃焼実験、高空性能実験の両実験場所で目的に応じて移動できるようにコンパクトなユニットと

表 4 推力較正精度

供試体	配 管	環境圧 Torr	最大非直線性 %	最大ヒステリシス %	精 度 %
無	ライン圧無	760	0.06	0.12	0.13
無	"	20	0.08	0.01	0.08
有	"	760	0.05	0.05	0.07
有	"	20	0.06	0.10	0.12
有	30kg/cm ²	760	0.08	0.12	0.14
有	"	20	0.12	0.12	0.18

$$\text{荷重} = \frac{\text{印加荷重に対する出力電圧}}{\text{電気校正電圧スパン}} \cdot KN$$

$$KN = \frac{\sum_{i=1}^n KN_i}{n} (\sim 50 \text{ kg} \cdot \text{f})$$

○ プリロード 3kg $\epsilon = 150$ 板バネ厚 0.35mm

● " $\epsilon = 200$ "

△ " $\epsilon = 200$ 板バネ厚 0.5mm

▲ " $\epsilon = 200$ "

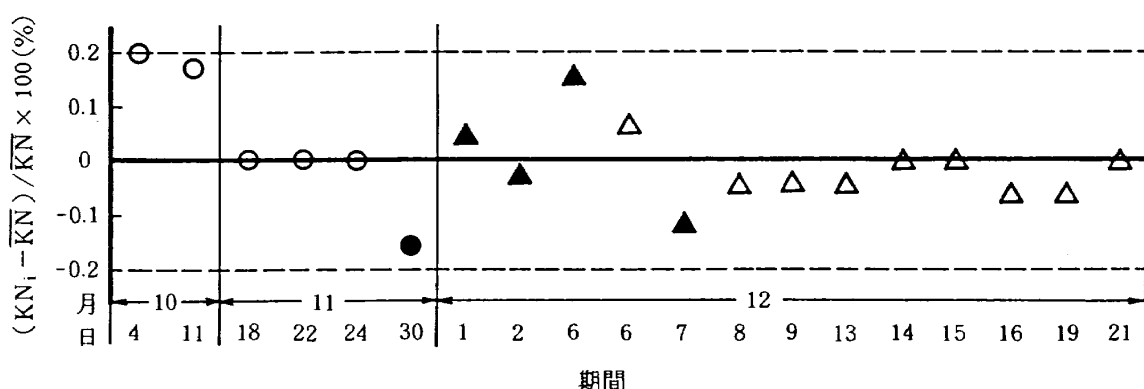


図 10 較正係数 KN の推移

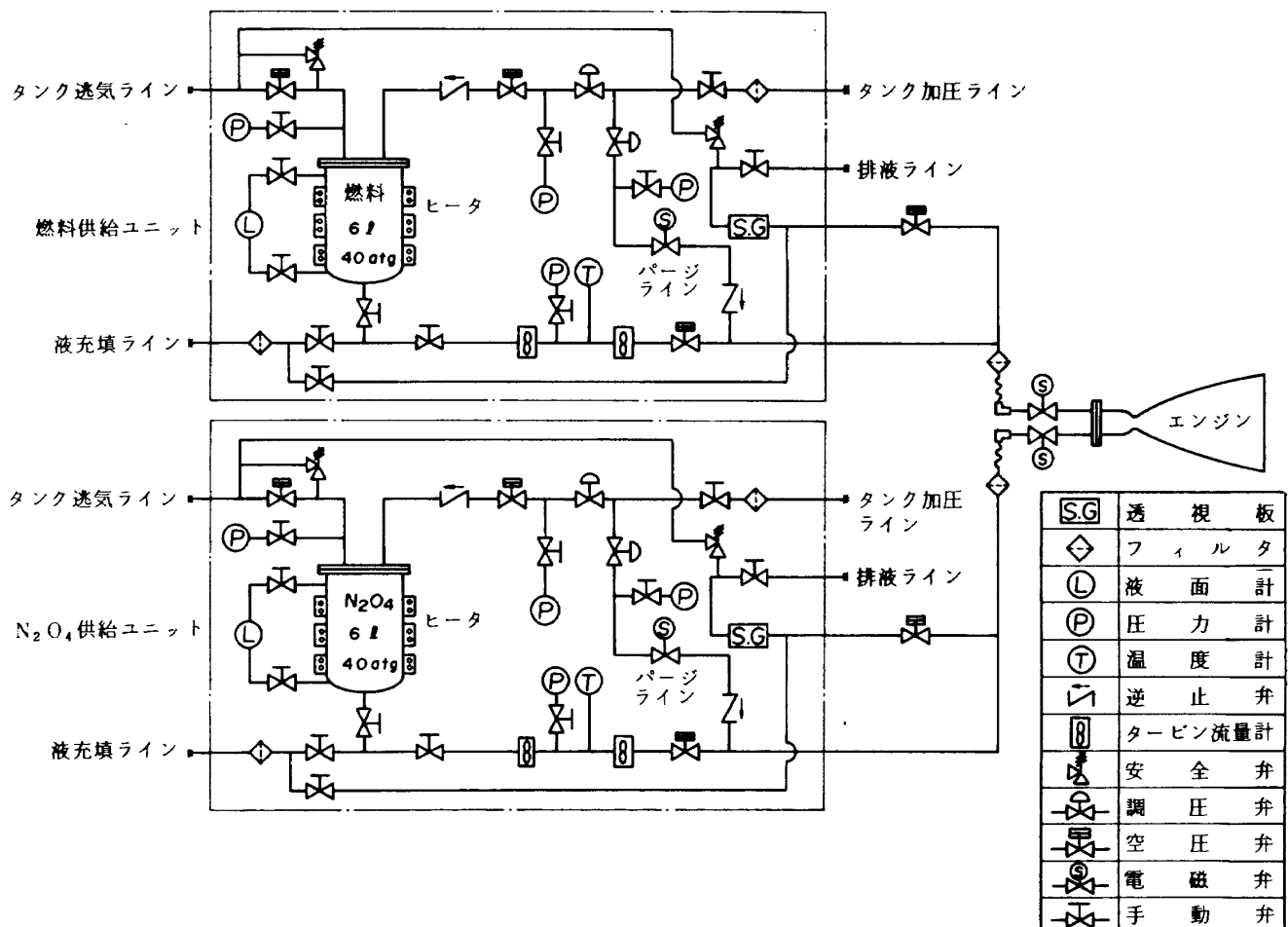


図 11 推進薬供給ユニット系統図

した。広い燃焼室圧力範囲の実験が可能なように、供給系の最大使用圧力を 4 MPa (40 kgf/cm^2 , G) とし、最大推進薬流量を 170 cc/s とした。これは、四酸化窒素 / モノメチルヒドラジン、および、四酸化窒素 / ヒドラジン系において、推力 100 kgf までの実験が可能な容量であり、推力計測システムの容量と一致したものである。 980 N (100 kgf) 推力レベルにおける最大燃焼時間は 30 秒とした。貯蔵性推進薬は腐蝕性が高いので、外部へのもれが生じないように推進薬と接触する部分にはダイヤフラム弁を用いた。また冬期の実験を考慮して推進薬タンクにはヒータをまき、保温をおこなった。

流量測定にはターピン式の流量計を 2 個直列に配して用いたが、流量が少いために、パルス検出には AM 変調式のコイルを用いた。メーカーの水較正値は 0.5 % 以内の精度であったが、ここでは実液を用いたときの不確定要素を考慮して、その精度を 1 % と見積った。

3. 供試エンジン

供試エンジンの諸元を表 5 に示す。欧米で使用されているアボジエンジンの推力レベルが $400 \sim 500 \text{ N}$ であることを考慮して推力を 490 N (50 kgf) とし、燃焼室圧を 686 KPa (7.0 kgf/cm^2 , A) とした。図 12 に供試体の略図を示す。これはノズル開口面積比 150 : 1 の供試体であるが、その他にもノズルスロート上流の形状が同一の開口比 200 : 1 および 1.75 : 1 の供試体も実験した。低膨張の供試体は海面高度の燃焼実験データからノズル性能予測計算によっ

表 5 供試エンジン諸元

Propellant		$\text{MMH/N}_2\text{O}_4$	$\text{N}_2\text{H}_4/\text{N}_2\text{O}_4$
Thrust	N (kgf)	490(50)	490(50)
Chamber Press.	KPa (kg/cm^2 , a)	686(7.0)	689(7.0)
Mixture Ratio		1.65	1.0
Vacuum Specific Impulse	sec.	305	315
Injector Element		120Da)	120D
Film Coolant Flow	% fuel	15.25	25
Nozzle Throat Dia.	mm	22.4	22.4
Nozzle Area Ratio		150:1	150:1

a) Unlike Doublet

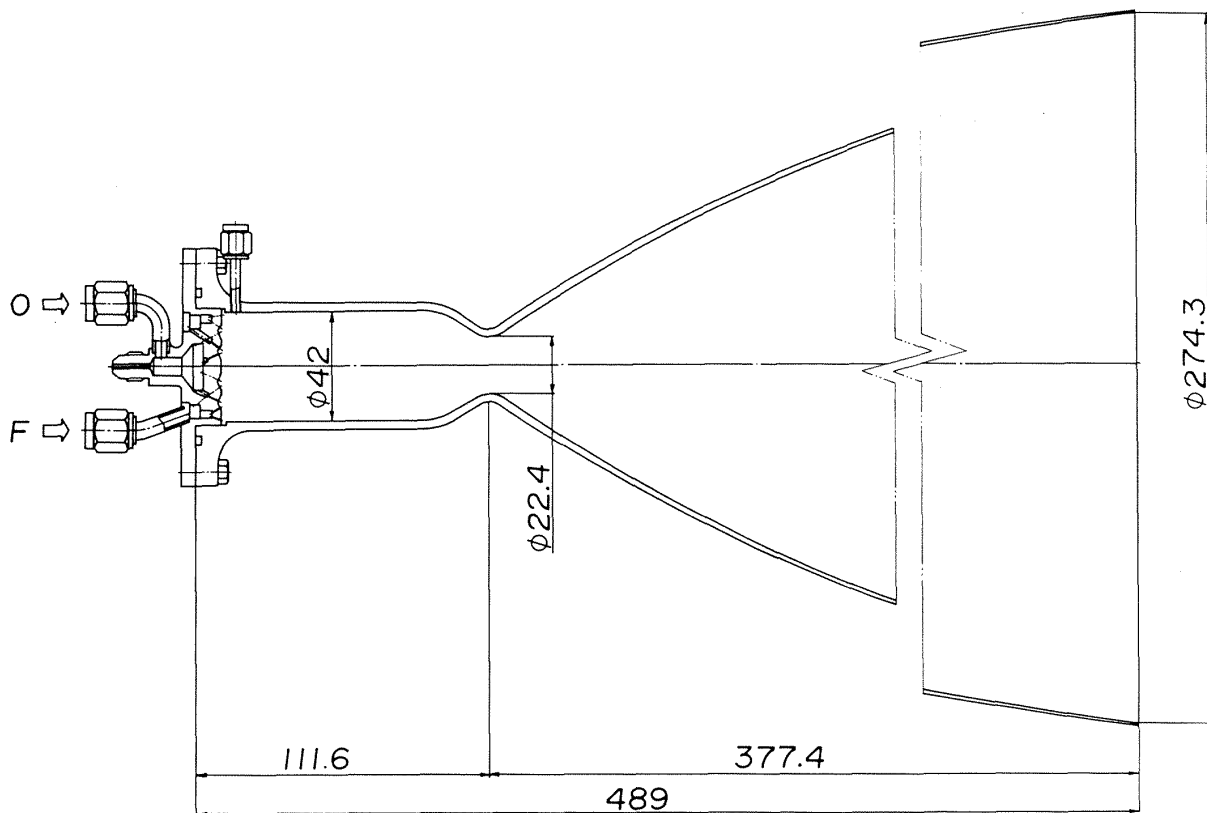


図 12 開口面積比 150 : 1 のエンジン略図

て高膨張エンジンの性能を予測するためのデータを得るために必要となったものである。本実験の主たる目的は高膨張エンジンの性能を求めることがなので、コロンビウム合金等の本格的な耐熱材料は用いないで、比較的入手が容易で、しかも、ある程度の耐熱性を有する材料で燃焼室およびノズルを製作した。すなわち、燃焼室部には肉厚約 3.0 mm のヘインズ HS-188 材を、また、ノズルエクステンション部にはインコネル INCO718 材を用いた。燃焼室部とノズルエクステンションは開口面積比 15 : 1 の位置で溶接されている。図 13 に供試エンジンを低圧室内にセットした写真を示す。燃焼室とノズルの外面は試験的にアルミナのスプレイコーティングをほどこした。

3.1 インジェクタ

インジェクタは異種二噴流の衝突型エレメント (Unlike Doublet, UD) 12コをもつものの二種を試験に供した。それらの略図を図 14 に示す。インジェクタ A は 2 コのリングにそれぞれ 4 および 8 コのエレメントを配置したもので、ドリルによるオリフィ

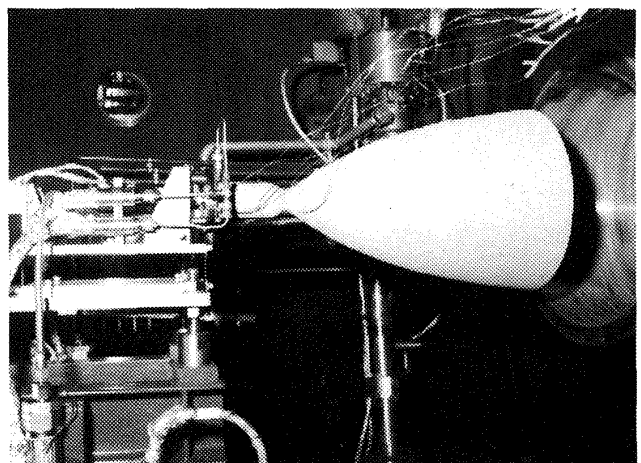


図 13 低圧室内にセットした供試エンジン

スの加工を容易にするため、表面にリング状の切欠きをもつものである。燃焼室の燃料液膜冷却のため、8 コのフィルム冷却用のオリフィスがインジェクタ周辺部に配置されている。フィルム冷却量は、水流し試験によれば、燃料の質量流量の約 15 %となつた。インジェクタ B は 12 コのエレメントをひとつのリング上に等間隔に配置したものであり、燃料の約 25 %をフィルム冷却に用いるものである。A,

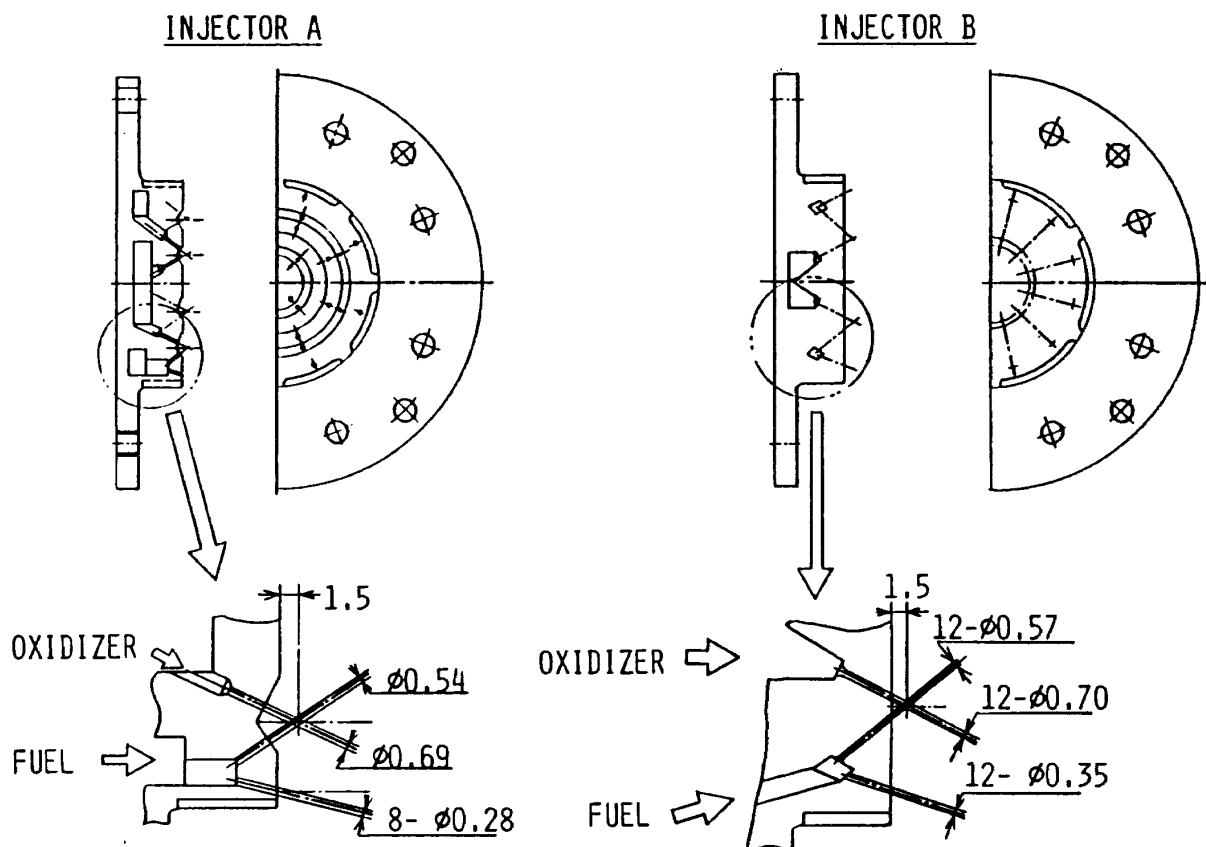


図 14 供試インジェクタ

B両インジェクタ共、第1次接線モードの音響振動に対応する1/4波長の共振器を周辺にもうけた。

次にインジェクタエレメントの設計について若干述べる。貯蔵性推進薬の異種衝突型のエレメントにおいては、反応性がきわめて高いので、条件によっては、衝突部で多量のガスが発生し燃料と酸化剤のスプレイが互いに反発する噴流の分離という現象がある。従って、エレメント設計の基本方針としては噴流分離を起さない範囲で、スプレイ混合が最適となる設計パラメタを選定することとした。噴流の分離には最近の Lawver の基準⁷⁾を用い、エレメントスプレイの混合に対しては Rupe の基準⁸⁾を採用した。実験結果の節で述べるように、上記の両基準共、必ずしも有効ではないが、別の簡単な方法がないので、これらの基準を参考として用いた。設計計算に用いた推進薬の物性値の代表値を表6に示す。

Rupe⁸⁾によれば、単一衝突エレメントの微粒化によってできるスプレイの混合が最も良い条件は次式であらわすことができる。

$$\rho_f v_f^2 d_f = \rho_0 v_0^2 d_0 \quad (1)$$

ここで、 ρ 、 v 、 d はそれぞれ密度、速度、およびオリフィス径であり、添字 f および 0 は燃料と酸化剤をあらわす。(1)式より、

$$\left\{ \frac{1}{MR_c} \right\}^2 \frac{\rho_0}{\rho_f} \left(\frac{d_0}{d_f} \right)^3 = 1 \quad (2)$$

ただし、 MR_c はコア、すなわち、フィルム冷却量を除いた混合比であり、エンジン混合比 MR_E とは次の関係がある。

$$MR_E = MR_c (1 - \alpha) \quad (3)$$

ここで、 α はフィルム冷却燃料/全燃料流量である。

インジェクタAのエレメントはモノメチルヒドrazin / 四酸化窒素 (MMH/N₂O₄) 推進薬系に対してフィルム冷却流量を全燃料流量の12%とし、エンジン混合比1.65、すなわち、コア混合比1.88においてRupeの基準を満足するような d_0/d_f とした。 d_0 は、インジェクタオリフィスの圧損を約0.3 MPa程度に取るため0.69 mmとした。エンジン混合比は等タンク体積の条件から1.65を選定したものであ

表 6 推進薬の主な物性値

Propellant	N ₂ O ₄	MMH	N ₂ H ₄
Density at 20 °C, g/cc	1.445	0.879	1.008
Viscosity at 20 °C, CP	0.416	0.85	0.97
Boiling point, °C	21.15	87.5	113.5
Freezing point, °C	-12.2	-52.5	1.5

る。実際にはフィルム冷却量は前述のように約 15 %となつたので、Rupe の基準を満足するエンジン混合比は 1.60 となつた。

同様に、インジェクタ B のエレメントは 12 % フィルム冷却について、ヒドラジン (N₂H₄) を燃料とし、エンジン混合比 1.43 (等タンク体積) において、Rupe の基準を満足するように d_0 / d_f を決めたものである。インジェクタ B は実際にはフィルム冷却量が約 25 % となるようにフィルム冷却オリフィスを再加工したものである。従って、Rupe の基準を満足する混合比は、 $\alpha = 0.75$ として、次のようになる。

$$\text{MMH : } MR_E = 1.31, \quad MR_C = 1.75$$

$$\text{N}_2\text{H}_4 : MR_E = 1.22, \quad MR_C = 1.63$$

Lawver⁷⁾ の相関によれば、噴流の分離は次の条件で起る。

$$P_c > 3.09 \times 10^7 / Re_f^{1.5} \quad (4)$$

ここで P_c は燃焼室圧 kgf/cm², A であり、 Re_f は燃料オリフィス径基準のレイノルズ数である。(4)式の右辺の値はインジェクタ A では 21 であり、インジェクタ B では約 30 となり、実験した燃焼室圧約 7 kgf/cm², A では分離はしない範囲内にある。後に実験結果の項でも述べるように、(4)式は主として MMH/N₂O₄ の実験の相関によるもので、N₂H₄/N₂O₄ に対しては必ずしも正確ではない可能性がある。

インジェクタ B は MMH, N₂H₄ の両方の燃料について実験をおこなつた。ヒドラジンのフィルム冷却が MMH に比べて効果的でないため冷却量が多いインジェクタ B を N₂H₄ 実験に供した。

各インジェクタは燃焼試験に供する前に水流し試験によって流量特性を求め、さらに模擬液を用いてスプレイの質量分布と混合比分布を求め、燃焼性能

解析計算の入力とした(付録参照)。

4. 実験結果

本研究の主な目的は高膨張エンジンの性能を求めることがあるため、比較的入手が容易な材料で燃焼室を製作した。予想通り、燃焼室のスロート部の温度は急速に上昇して長秒時の燃焼実験は困難であった。図 15 に着火後 6 秒時の外壁面の温度の分布を示す。スロート部を含めその上流では 3 ケ所の軸位置において周方向互いに 180° の位置に 2 台の熱電対を装着した。スロート部の外面壁温は 2 ケ所の周位置で大きな相異がある。また、ヒドラジンと MMH では燃焼室部の軸方向の温度分布がかなり異なるようみえる。これらの詳細については別途実験と解析が必要である。

図 16 にスロートの高温部の温度を燃焼時間に対してプロットした。MMH の場合に比べ、ヒドラジンを燃料とした場合にはスロート温度は高く、その上昇傾向は着火後 7 秒以後も続くことがわかる。スロート部外壁温度が 950 °C を越えるとスロート部を焼損することがわかり、安全のため、スロート部温

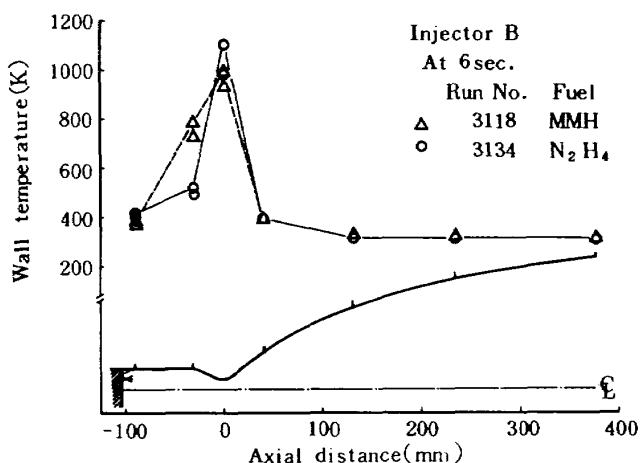


図 15 燃焼室外壁温分布

度 850 °C において燃焼を停止することにした。本報の大部分のデータは燃焼時間を 7 秒に設定し、最後の 1 秒間に取得した 100 コのデータの平均値をもって性能の評価をおこなった。ヒドラジン燃料のデータのいくつかは、非常停止のため、約 0.5 秒以内で 7 秒よりも燃焼時間の短いデータも含まれている。

4.1 MMH / N₂O₄ 系

図 17 にインジェクタ A を用いてノズル開口比 150 : 1 について実験をした結果を示す。このインジェクタは試験シリーズの途中で燃料側の噴射抵抗が大きくなり、取り外し検査によって燃料オリフィスが部分的に閉塞していることが判明した。特殊な治具を用いてインジェクタ表面から加圧フレオノンによる洗滌 (Back flush) をおこなったところを溶接ビード状の異物が検出された。その後のデータをフラグで示す。洗滌後の比推力はやや低下しているようにもみえるが、洗滌前後で性能の差はないものとみなすべきであろう。図 17 からわかる重要なことは、開口比 150 : 1 で真空比推力 302 ~ 306 秒が得られている事である。混合比 1.4 ~ 1.8 の範囲で混合比が大きくなるとわずかに比推力も大きくなっている。なお、特にことわらない限り、本節で使う混合比 (Mixture Ratio) はエンジン混合比をさすものとする。真空推力係数 C_{FV} は混合比と共に大きくな

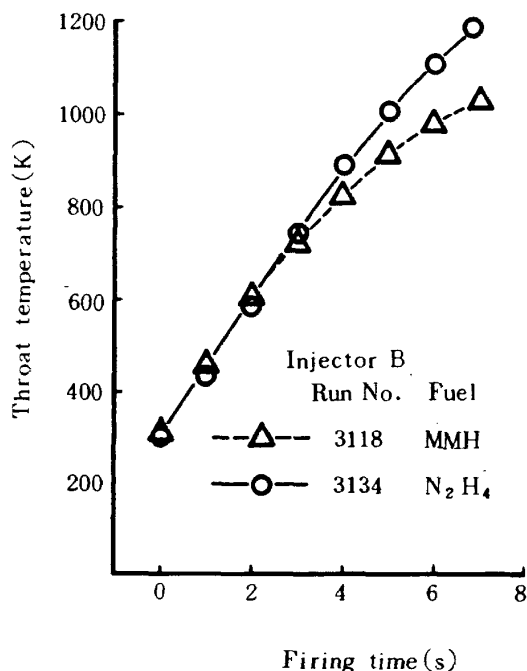


図 16 スロート部温度の時間変化

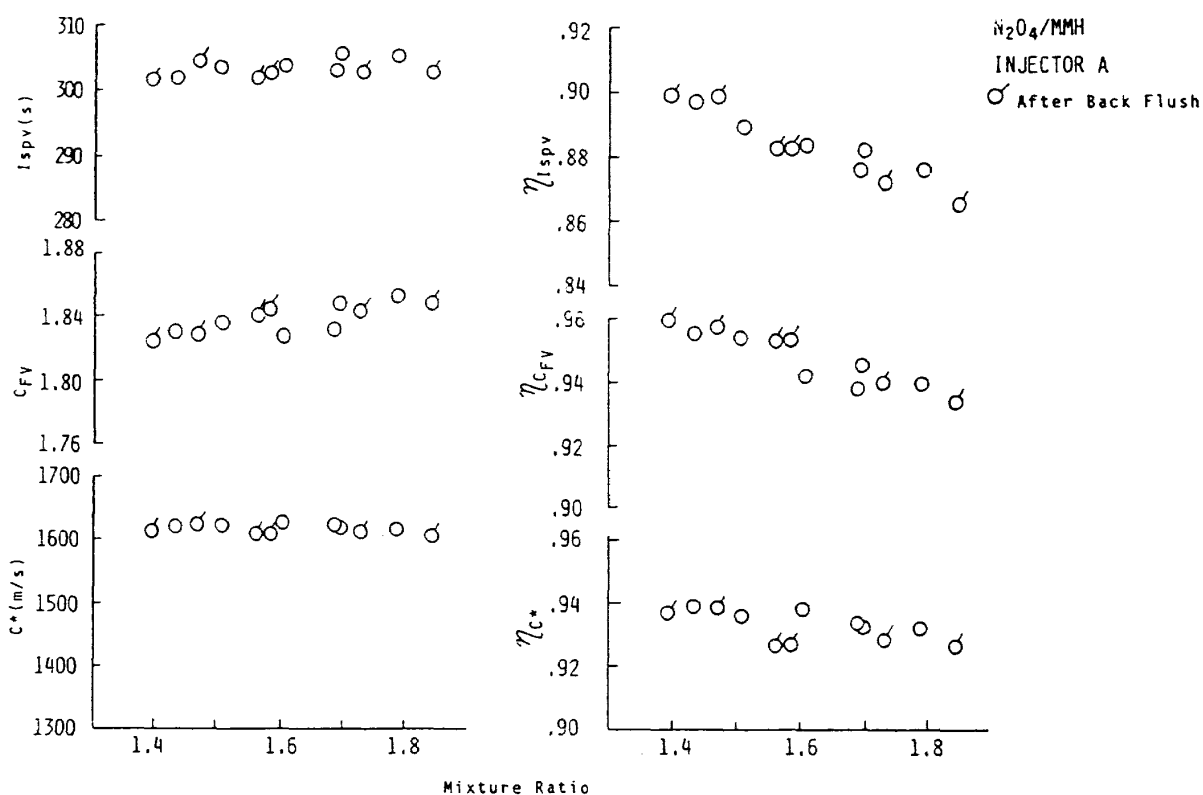


図 17 N₂O₄/MMH の性能 (インジェクタ A, ノズル開口比 150 : 1)

る傾向にあり、混合比 1.65において約 1.84である。特性速度 C^* はこの混合比範囲ではほぼ一定値をとっている。なお、 C^* には海面高度のデータも含めた。図 17 の右側にはそれぞれの効率を示す。比推力効率と C_{FV} 効率は混合比が大きくなると急速に低下する。 C^* 効率は 94 ~ 93 %であり、混合比の増加に伴ってわずかに低くなる傾向にある。3.1 節で述べたRupe の基準に対応する混合比 1.60におけるピークはみられない。これはエレメント間の干渉、フィルム冷却燃料との混合等によって単一エレメントの特性が燃焼効率にあらわれなかつことによるものと考えられる(図 18 も参照)。

図 18 にインジェクタ B の実験結果を示す。図 17 と比較するため、開口比 $\epsilon = 150$ のデータに着目する。比推力は 298 ~ 302 秒となり、インジェクタ A に比較して約 5 秒低いことがわかる。これは主としてフィルム冷却量の増加によるものと考えられる。 C^* 効率を比較すれば、インジェクタ A に比べ、約 1.5 % 低く、わずかに右下りであり、92.5 ~ 91.5 % の範囲にある。ノズル開口比 $\epsilon = 200$ の比推力は $\epsilon = 150$ のそれに比べて 2 ~ 3 秒高い。インジェク

タ B の場合には混合比 1.6 ~ 1.7 のあいだに C_{FV} のピークがみられ、従って、比推力もそのあたりにピークがあるようみえる。

インジェクタ A, B 共に C^* 効率の傾向がきわめて似通っていることから、比推力のピークが生じることは主としてフィルム冷却量の相異によるノズル性能の相異によるものと考えられる。

4.2 N_2H_4/N_2O_4 系

本節では MMH よりも高エネルギーで、しかも取扱いが比較的容易な N_2H_4 を燃料としたときの達成比推力について実験をおこなった結果について述べる。 N_2H_4 モノプロペラントは衛星の二次推進系として多用されており、静止衛星の南北位置保持に電気加熱式ヒドラジンモノプロペラントシステムを用いる場合には、アポジエンジンに MMH の代りに N_2H_4 を用いる利点は多い^{1,2)}。

ここでは MMH/ N_2O_4 系の実験に用いたと同一の供試体を用いて N_2H_4/N_2O_4 系について開口比 $\epsilon = 150$ の実験をおこなった。その結果を図 19 に示す。混合比 0.97 以下で比推力 315 秒以上の値を得

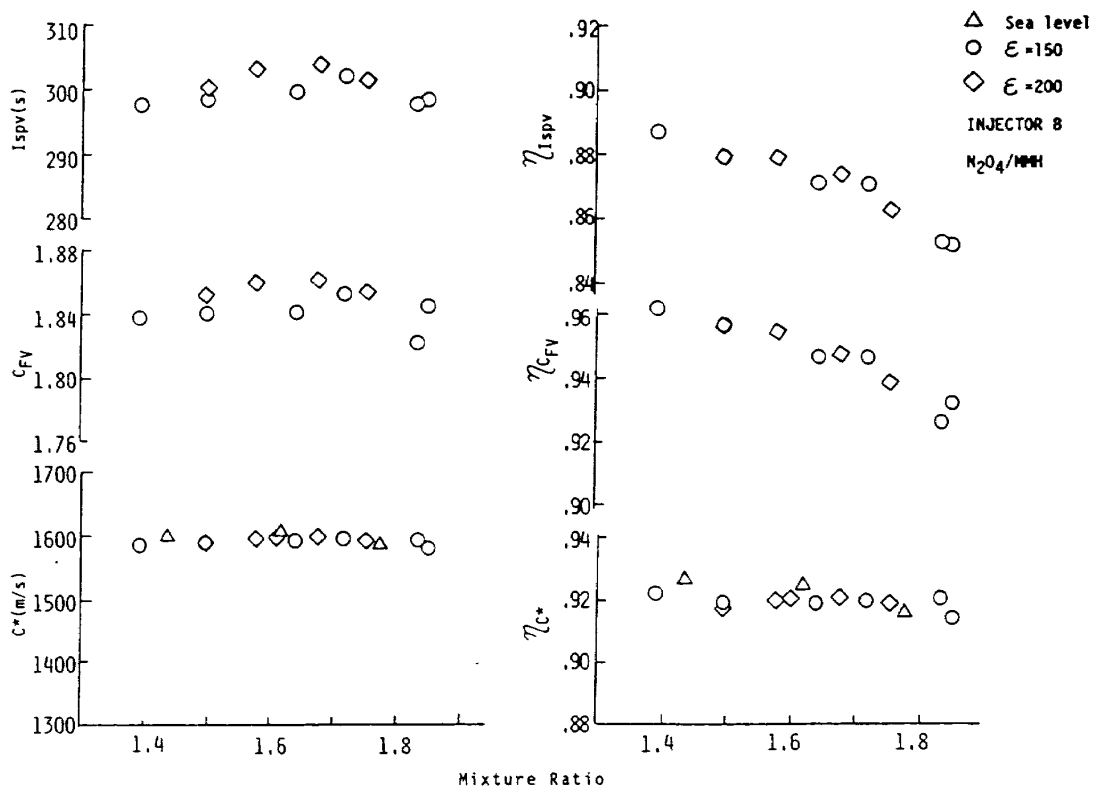
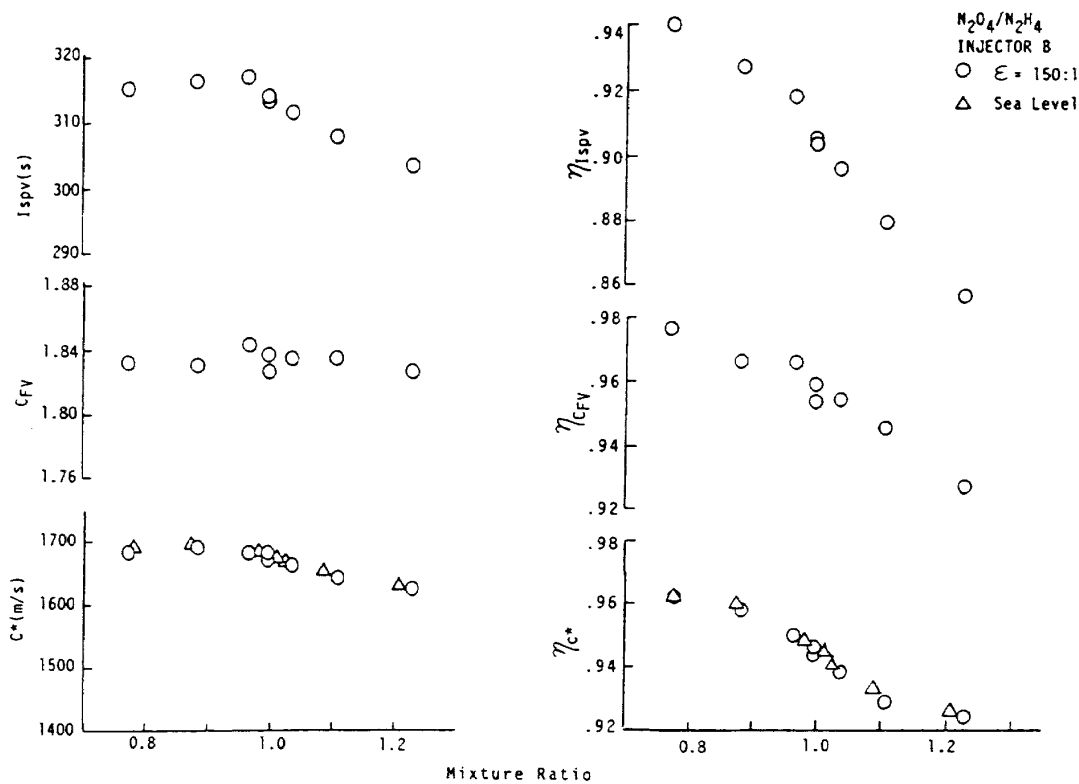


図 18 N_2O_4/MMH の性能(インジェクタ B)

図 19 $\text{N}_2\text{O}_4/\text{N}_2\text{H}_4$ の性能 (インジェクタ B, 開口比 150 : 1)

ている。混合比が 1 を越えると比推力は急速に低下し、混合比 1.2 では 304 秒程度となる。この比推力の低下は図 19 の右側に示す C^* 効率の低下と対応している。図 18 と図 19 との比較より、同一のエンジンコンフィグレーション燃料を MMH から N_2H_4 に変えた場合、15 秒以上の比推力の増加があり得るという結論に達する。この原因是、次節で述べるように、もともと N_2H_4 は MMH よりも高エネルギーであること、ならびに図 18 と図 19 の比較からわかるように燃焼効率 (C^* 効率で約 4 %) が高いためである。燃焼効率が高くなったのは、フィルム冷却ヒドラジンの液膜上に分解火炎が生じ、MMH に比べて早く液膜が蒸発し、主流とより良く混合すること、ならびに、分解生成物の分子量がより低いことなどによるものと推定される。

以下に、ヒドラジン燃料でのみ起った混合比の増加による急速な C^* 効率の低下について検討する。先ず最初に噴流の分離がないものとして、スプレイ混合の悪化が原因かどうかについて定性的な検討をおこなう。インジェクタ B における単一エレメントスプレイの最適混合は $MR_E = 1.22$ に対応するが(3.1

節参照)，実験値はこの混合比では逆に低くなっている。MMH 燃料の実験結果の項で述べたように、実験をおこなったインジェクタでは単一エレメントのスプレイの最適混合条件からのずれは C^* 効率には明確には現われない。従って、ここで問題にしている急速な C^* 効率の変化は単一エレメントのスプレイ混合の悪化によるものではないと考えられる。それではエレメント間の干渉によるスプレイ混合の悪化が原因であろうか。付録 1 に示したコールドフロー実験結果によれば、インジェクタ B は高混合比側で混合効率 ($\eta_{c^*, mix}$) が急速に低下する傾向にある(図 A-3 参照)。図 A-3 には MMH の場合を示したが、 N_2H_4 についても同様な傾向が得られている。しかし、MMH の燃焼実験結果(図 17 と図 18)によれば、インジェクタ A, B の C^* 効率の間には傾向的な相異は認められない。噴流の分離がないものとすれば、混合比の変化による C^* 効率の変化は図 19 に示されるような S 字型の急な変化ではなく、図 17, 18 のようなゆるやかな単調な変化となろう。従って、エレメント間の干渉によるスプレイ混合の悪化も一応は問題の C^* 効率の低下の原因から除外

することができよう。

次に、噴流の分離の可能性について検討する。3.1節で述べたように、Lawver の分離条件(4)式には十分な余裕がある。Lawver は⁷⁾(4)式が MMH, N₂H₄ 共に適用可能であるとしているが、相関を求めるために使用したデータの大部分は MMH を用いたものである(MMH についての単一エレメントについての筆者らのわずかな実験は、Lawver の条件を支持している)。一方、N₂H₄ について Kushida ら⁹⁾ は噴流分離の条件として次の式を提案している。

$$\frac{d}{v} > 35 \left(\frac{7.04}{P_c} \right)^{1.5} \quad (5)$$

ここで、 d は噴流の径、 v は燃料噴射速度であり、 d/v は酸化剤と燃料の衝突部における接触時間の尺度をあらわすもので、単位は μs である。 P_c は燃焼室圧力、 kg/cm^2 、A である。表 7 にヒドラジンの実験値について Lawver と Kushida の噴流分離限界圧を示す。Lawver モデルと Kushida モデルでは限界圧力の値が大きく異なる事、ならびに、Lawver モデルでは混合比の増加と共に限界圧が上昇するのに反し、Kushida モデルでは、逆に、混合比が大きくなると限界圧が下ることは興味がある。Lawver のモデルでは本実験の範囲では分離は起っていないこ

表 7 燃焼室圧と噴流分離限界圧の比較

MR _E (EXP)	P _c (EXP)	P _{c, SEP} (Lawver)	P _{c, SEP} (Kushida)
0.729	7.40	28.4	7.58
0.775	7.17	26.8	7.55
0.877	7.41	30.5	7.29
0.884	7.20	29.2	7.26
0.968	7.22	32.1	7.07
0.985	7.41	32.5	7.05
1.004	7.23	33.7	7.01
1.015	7.53	35.3	7.06
1.031	7.52	34.6	7.05
1.037	7.11	33.9	6.90
1.089	7.22	36.2	6.78
1.107	7.10	35.9	6.79
1.210	7.21	39.8	6.56
1.228	7.04	36.7	6.55

となる。しかし、Kushida モデルでは、実験燃焼室圧と限界燃焼室圧がきわめて近い範囲にあり、限界燃焼圧は混合比の上昇と共に実験燃焼圧より低くなっている。ここで分離が起るとすれば、図 19 の混合比の増加による C* 効率の低下と良く対応している。現段階で結論を下すことはできないが、図 19 の C* 効率の混合比依存性は噴流の分離による可能性が強い。

N₂H₄ の噴流分離条件の見直し、インジェクタエレメントおよびエレメント間の干渉等に関して今後とも基礎的な研究が必要である。

5. ノズル性能計算との比較

高膨張エンジンの性能を実験的に求めるにはエンジンの雰囲気の圧力を十分に低くするための装置が必要となり、通常、このような装置の運転の経費は高い。従って、低膨張エンジンの海面高度実験から高膨張エンジンの性能が精度良く推定できれば、少くとも開発の初期の段階においては高空性能試験の回数を減らすことができる。原理的には、低膨張エンジン試験から適切な燃焼効率が求められ、ノズル性能予測が十分な精度でできるならば真空比推力の予測は可能である。本節では既開発のノズル性能解析プログラム¹⁰⁾を用いて、上記について検討する。

5.1 ノズル性能計算

文献 10) のノズル性能計算法では境界層損失の見積りにおいて乱流境界層を仮定している。本実験の推力レベルでは境界層の大部分において層流である可能性が大きい。現在の我々のノズル計算プログラムには層流境界層のオプションが組み込まれていないので、便宜上、Aerojet 社の計算結果¹¹⁾を使用して補正おこなう。図 20 において 4F は境界層による推力損失を示し、添字 TBL は乱流境界層プログラムを、また、BLIMP は Boundary Layer Integral Matrix Procedure による計算値を示すものである。後者は米国で現在標準とされている計算法である。図 20 より本研究におけるスロートレイノルズ数範囲は層流域にあり、TBL 計算による推力損失の計算値は BLIMP の約 2 倍となることがわかる。このような境界層損失の補正をおこなって、ノズ

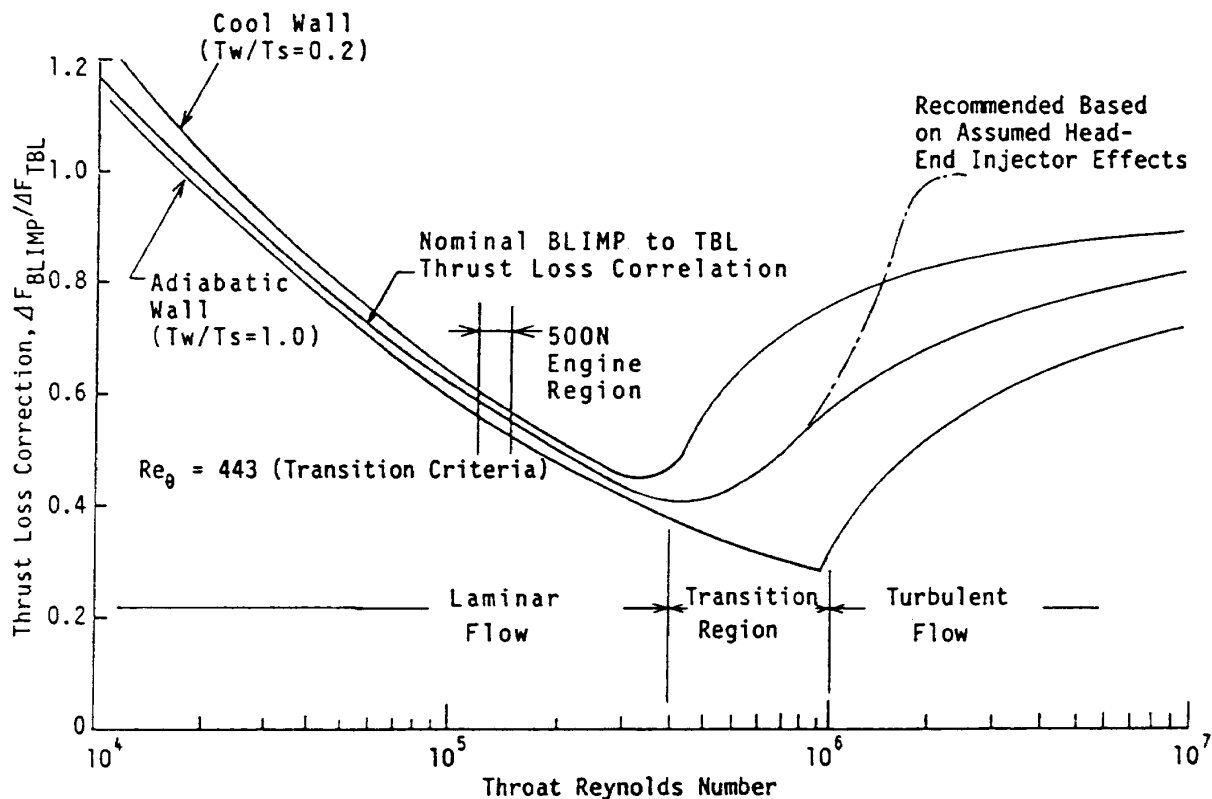
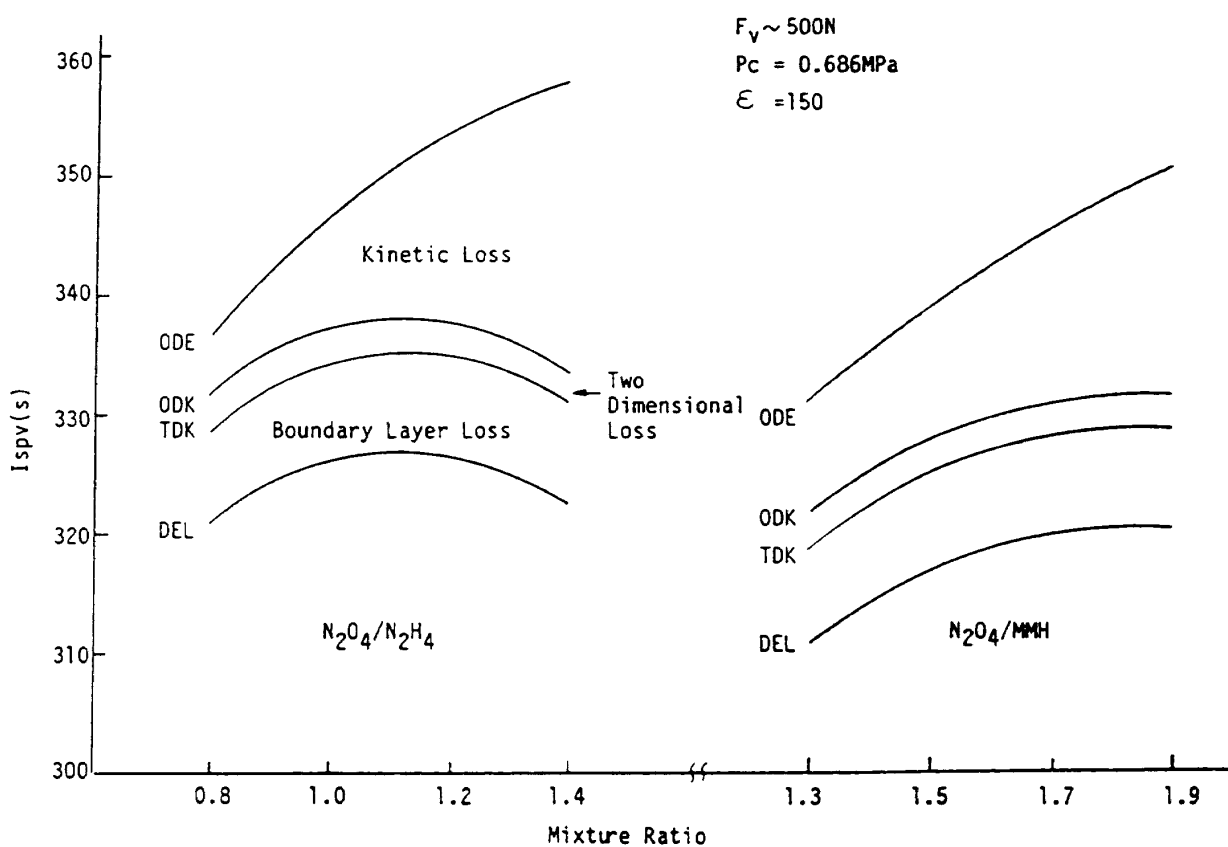
図 20 乱流境界層計算の補正¹¹⁾

図 21 ノズル性能計算例

ル開口比 150:1 の場合のノズル性能計算結果を図 21 に示す。図のODE, ODK, および TDK はそれぞれ準一次元平衡流, 同化学非平衡流および軸対称非平衡流の計算による比推力の値を示し, DEL はエネルギー発生効率を 100 %としたとき, すなわち, 燃焼不完全による損失がないときに得られる比推力を示す線である。このコンフィグレーションにおいては N_2H_4 の比推力最大の混合比は 1.1 であり, MMH では 1.8 であり, 両者の差は約 7 秒である。両燃料共に, 高混合比例では化学非平衡損失 (Kinetic loss) が大きいが, N_2H_4 の場合は MMH に比べてさらに大きくなっている。その次に大きなノズル損失は境界層損失であり, $\epsilon = 150$ において約 8 秒となる。二次元損失はノズルの二次元性による損失, すなわち, ノズル出口面の速度ベクトルの軸方向との相異による損失をあらわすもので, 約 3 秒程度である。

5.2 ノズル性能計算の評価

簡単のため, 境界層を通さない熱損失と混合比の半径方向の不均一による比推力損失を無視すれば, 実際に得られる比推力は近似的に次式によって与えられる。

$$I_{SPV} = \eta_{ER} (I_{ODE} - KL - TDL - BLL) \quad (6)$$

ここで, I_{ODE} は一次元平衡流の比推力, KL は化学非平衡損失, TDL は二次元損失, BLL は境界層損失, η_{ER} はエネルギー発生効率であり, 燃焼効率の指標である。(6)式の右辺の()内が η_{ER} に独立であれば, すなわち, 燃焼効率がノズル損失に影響をおよぼさないとすれば, η_{ER} は次式であらわすことができる。

$$\eta_{ER} = \frac{I_{SPV}}{I_{SPV}, \eta_{ER}=1.0} \quad (7)$$

実際の η_{ER} の算出には分子に実測の真空比推力を用い, 分母には $\eta_{ER}=1$ のときの計算値を用いる。この計算値はノズル開口比やノズル形状によって異った値となる。

(7)式より明らかのように, ノズル性能計算の有効性を確かめるにはエネルギー発生効率の値がわかっていないなければならない。エネルギー発生効率をインジェクタと燃焼室のパラメタを与えて計算する試みは我

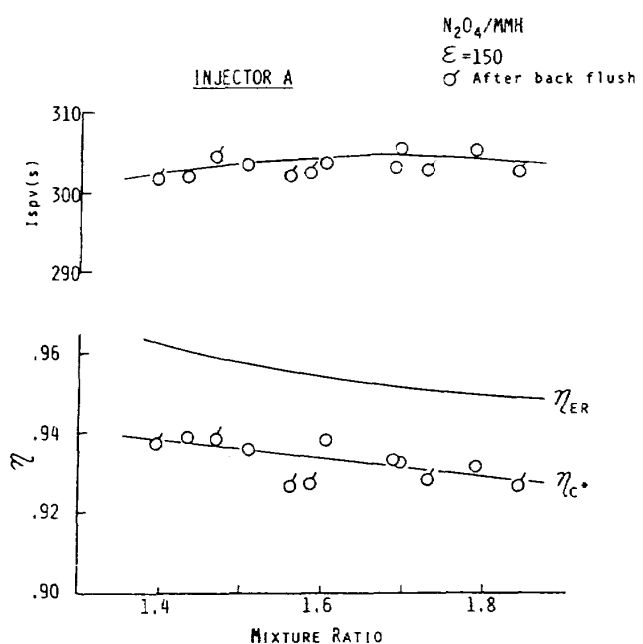


図 22 エネルギ発生効率と C^* 効率の比較

々もおこなっているが, まだ十分な精度の予測はできていない(付録参照)。Aukerman と Trout¹²⁾によって指摘されているように, エネルギ発生効率を実験的に求めるには低膨張エンジンの比推力測定値を相關するのが最も合理的である。ここでは, 低膨張および高膨張の比推力測定値があるので, (7)式によって求めた η_{ER} の値を比較することによってノズル性能計算の有効性を評価する。参考のために, 燃焼室圧力の測定から求めた C^* 効率も示した。

図 22 にインジェクタ A, $\epsilon = 150$ について η_{ER} と η_{C^*} を比較して示す。 η_{ER} は I_{SPV} の実験点を平滑化して(7)式から求めた。 η_{ER} と η_{C^*} には約 2 % の差がみられることがわかる。従って, η_{C^*} をもってエネルギー発生効率を近似すれば, 高膨張エンジンの比推力の予測において約 2 % 低い比推力を見積る事になる。

図 23 にインジェクタ B を用いたときの三つの異った開口比における η_{ER} を示す。先ず図の右側の N_2O_4/MMH 系に着目する。 η_{ER} と η_{C^*} はやはり 2 % 程度の差があることがわかる。また, 低膨張の η_{ER} と高膨張の η_{ER} は同一のレベルにあるが, 高膨張の場合にはやや高い値を示すようにもみえる。これは, 燃焼室内で反応しなかった推進薬が $\epsilon = 1.75$ 以上の高膨張部において反応したためであるとも考えられる。つまり, 未燃分の高膨張部における反応

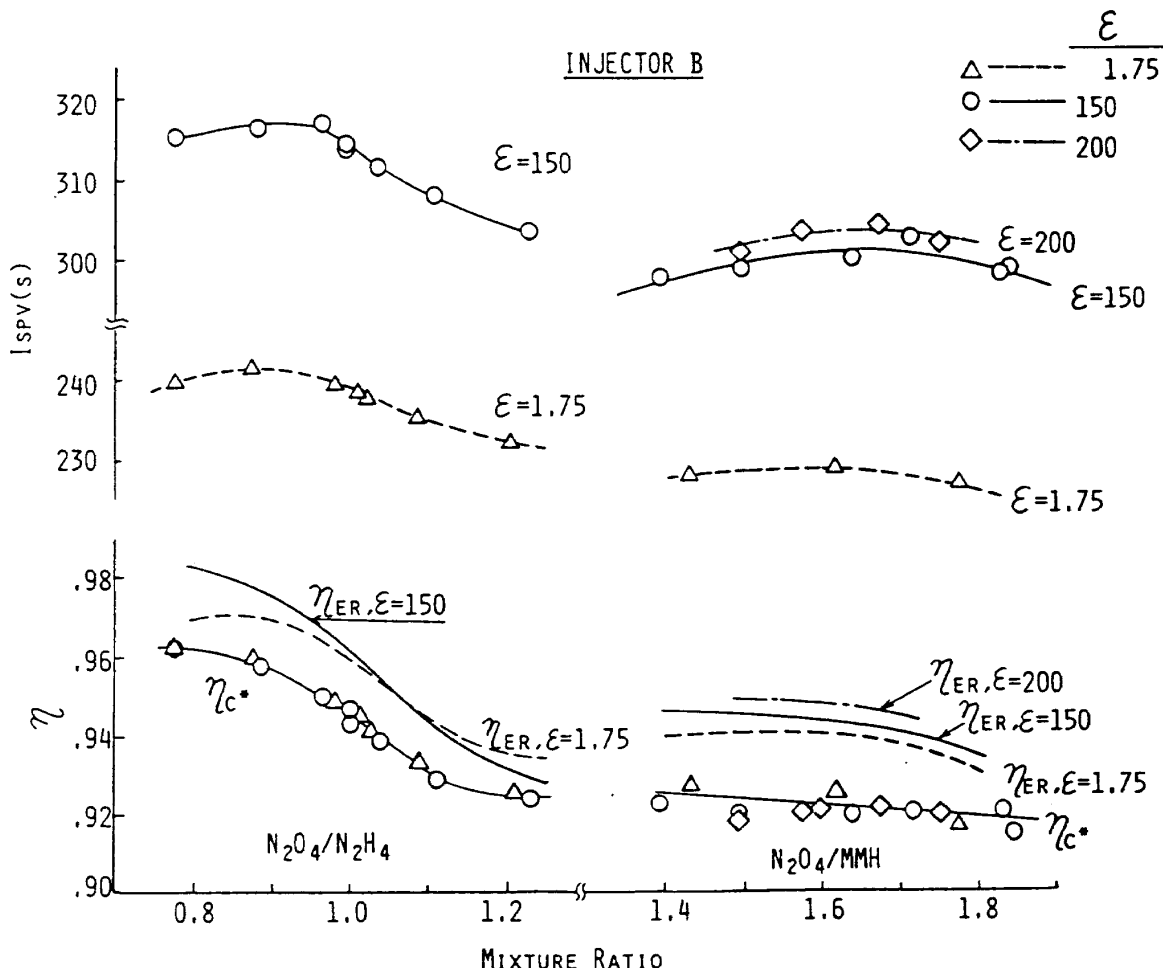


図 23 低膨張と高膨張のエネルギー発生効率の比較

によってある程度の比推力の回復もあり得ることを示すものである。次の図の左側の N_2O_4/N_2H_4 のデータに注目する。低膨張の η_{ER} と高膨張の η_{ER} は混合比 1.05 付近で交差しているが、両者はほぼ同一レベルにあるとみなすことができる。 $\epsilon = 1.75$ と $\epsilon = 150$ の η_{ER} の値が交差する理由としては次のようなことが考えられる。(6)式は燃焼不完全がノズル損失に影響を与えないことを仮定したものであるが、実際には上述のノズル内の燃焼、ノズルスタグネーション温度の低下、燃焼ガス分子量の増加などを通して燃焼不完全は膨張過程に影響をおよぼす。燃焼効率の低い高混合比側では、ノズルスタグネーション温度の低下および燃焼ガス分子量の増加によるノズル性能の低下が高膨張ノズルにおいてより大きくなるために、低膨張の η_{ER} より高膨張の η_{ER} が低くなり得る。また、逆に低混合比側ではノズル内の未燃分の反応の効果のため、高膨張の η_{ER} が高くなり

得る。

上記の詳細については現実的なモデルによる定量的な検討が必要である。図 23 からわかる最も重要なことは、低膨張の比推力データから得たエネルギー発生効率を用いて高膨張の比推力を予測すれば、本実験の範囲内ではおおむね ± 0.5 % の一致が得られることである。なお、以前に Aukerman らによって指摘されているように、圧力測定から求めた η_c^* をエネルギー発生効率と近似した場合にはより大きな予測誤差をまねくことがある。

ノズル性能計算の改良項目としては次のようなことがある。

i) 境界層計算の改修

ii) 境界層を通さない熱損失の評価

iii) 混合比の半径方向の分布

特に iii) 項については、本実験のような多量のフィルム冷却をおこなうコンフィグレーションについ

ては無視できない可能性がある。本報の取扱いにおいては混合比の不均一による損失と燃焼不完全による損失を合せて η_{ER} で評価しているという問題点が残っている。米国においては、燃焼性能も含めたかなり詳細に検討された標準的な比推力の予測手法¹³⁾があるとみられる。

6. む す び

推力 500 N, 燃焼圧 700 KPa レベルの貯蔵性推進薬エンジンの試験用の装置の設計製作、ならびにこれを用いて、ノズル開口比 200 : 1 までの高空性能実験をおこなった。

試験装置に関しては、次の結果を得た。

- (1) エンジン着火前低圧室圧 3 Torr 以下で、エンジンの始動および停止時に低圧室圧力の変化のない、着火前はエゼクタとして着火後はデフューザとして作動するアニュラ型補助エゼクタを開発した。
- (2) 上記エゼクタの設計上最も重要なことはエゼクタモードおよびセカンドスロートデフューザモードの両方において零二次流時のスタートを確保することである。
- (3) アニュラエゼクタの零二次流時のスタート圧力比の予測には等価な中心ノズルの計算を使用できる。
- (4) 総合精度 0.2 %以内の低推力の計測システムを開発した。

第一次試作の供試体の高空性能試験によって次の結果を得た。

- (5) ノズル開口比 150 : 1 において N_2O_4/MMH についてはエネルギー発生効率 95 ~ 96 %において 300 ~ 305 秒の比推力を得た。
- (6) N_2O_4/MMH 系で比推力 300 秒のエンジンコンフィグレーションにおいて燃料を N_2H_4 に変更し、混合比 0.97 において比推力 317 秒を得た。
- (7) 低膨張エンジンの海面高度比推力測定から得たエネルギー発生効率を用いてノズル性能計算から高膨張エンジンの比推力を推定すればその精度は土 0.5 %程度となる。
- (8) 燃焼圧の測定から求めた C^* 効率をエネルギー発生効率に近似して高膨張エンジンの性能を求めると本実験の範囲では約 2 %低い比推力を予測する。

MMH から N_2H_4 に燃料を変更して得られた比推力の増分は N_2H_4 の高エネルギー分（約 7 秒）とエネルギー発生効率の増分によるものであるが、当然燃焼室に対する熱負荷は増大するので、実用エンジンを開発するときにはこれを解決しなければならない。

比推力性能の予測の面では、我々の現用のノズル性能計算法には多くの問題点を含むが、一応の予測は可能なので、与えられたインジェクタと燃焼室に対してエネルギー発生効率を精度良く予測する手法を開発することがより重要であると筆者らは考える。これに関する研究には最近着手したところであり、その現状を付録に示した。

引 用 文 献

- 1) Pahl, D. A. and Smith, R. T. : Propulsion System Tradeoff Studies for Geosynchronous Satellites, AIAA paper 83-1218 (1983)
- 2) Smith, P and Horton, M. A. : Advanced Propulsion Systems for Geostationary Spacecraft-Study Results, AIAA paper 84-1230 (1984)
- 3) 宮島 博：衛星の液体推進システム、日本航空宇宙学会誌、掲載予定
- 4) 航空宇宙技術研究所：航空宇宙技術研究所のロケットエンジン高空性能試験設備、NAL TR-454 (1976)
- 5) 宮島 博、他：ロケットエンジン高空性能試験用蒸気エゼクタの実験、NAL TR-566 (1979)
- 6) 宮島 博、阿部 登、木皿且人：ロケットエンジン高空性能試験用ディフューザの設計計算、NAL TM-313 (1976)
- 7) Lawver, B. R. : High Performance N_2O_4 /Amine Elements "Blowapart" NASA CR 160273, March 1979
- 8) Rupe, J. H. : An Experimental Correlation of the Nonreactive Properties of Injection Schemes and Combustion Effects in a Liquid Propellant Rocket Engine, JPL Tech. Rept. 32-255, July 1965

- 9) Kushida, R., Houseman, J. : Criteria for Separating of Impinging Streams of Hypergolic Propellants, JPL Tech Memo 33-395, July 1968
- 10) 中橋和博, 宮島 博, 木皿且人, 毛呂明夫 : ロケットノズルの性能予測法, NAL TR-771 (1983)
- 11) L.Schoenman : Low-Thrust Isp Sensitivity Study, NASA CR-165621, April 1982
- 12) Aukerman, C. A. and Trout, A. M. : Performance of Apollo Storable Propellants in Engines with Large Area Ratio Nozzles, NASA TN D-3566 (1966)
- 13) JANNAF Liquid Rocket Engine Performance Prediction and Evaluation Manual, CPIA Publication No.246, April 1975

付録 定常燃焼性能の予測

ロケットエンジン設計の有力な手段である性能予測計算において、ノズル性能に関しては我々の現用コードで一応の予測は可能であるが、燃焼室でのエネルギー発生効率の予測に難点がある。これを打開するため、検討を開始した。ここでは、予備的な検討結果を燃焼試験結果と対比して示す。

付 1. インジェクタのコールドフロー試験

インジェクタの設計においては、推進剤の微粒化と混合特性の推定が重要である。インジェクタの型式と諸元、推進剤の物性、作動条件等が微粒化と混合特性に及ぼす効果については実測が必要である。我々は、これらの特性の測定を目的として、模擬液を用いたコールドフロー試験を行った。一般にコールドフロー試験は、微粒化特性の測定を目的としたものと、混合特性の測定を目的としたものがあるが、今回後者について試験を行ったので、試験方法の概要および試験結果等について述べる。結果の一部は、付 2.で述べる計算の入力データとして用いた。

付 1.1 試験装置と評価方法

図 A-1 に、インジェクタコールドフロー試験装置を示す。噴霧の捕集部は 7mm × 7mm の 0.3mm 肉厚の矩形管 441 本 (21 × 21) をすきまなく束ねたもので受液部は各々容積約 35 cc の試験管からなる。噴霧は空気圧作動シリンドラで駆動されるシャッタの開閉に伴ない設定時間だけ捕集される。推進剤の模擬液として酸化剤はトリクロロエタン、燃料は水を用いた。捕集液は、二液を分離して各々重量測定を行なう。捕集面の位置は予備試験の結果、噴射面より 5 cm とした。結果は、混合効率 E_m 、および混合特性速度効率 C_{mix}^* を尺度として評価する¹⁻¹⁾。

$$E_m = 100 \left[1 - \sum MF_{sb} \frac{R - R_{sb}}{R} + \sum MF_{sa} \frac{R - R_{sa}}{R - 1} \right] \quad (A-1)$$

ここで

$$E_m = \text{混合効率} (0 \sim 100 \%)$$

$$R = \text{全体混合比}$$

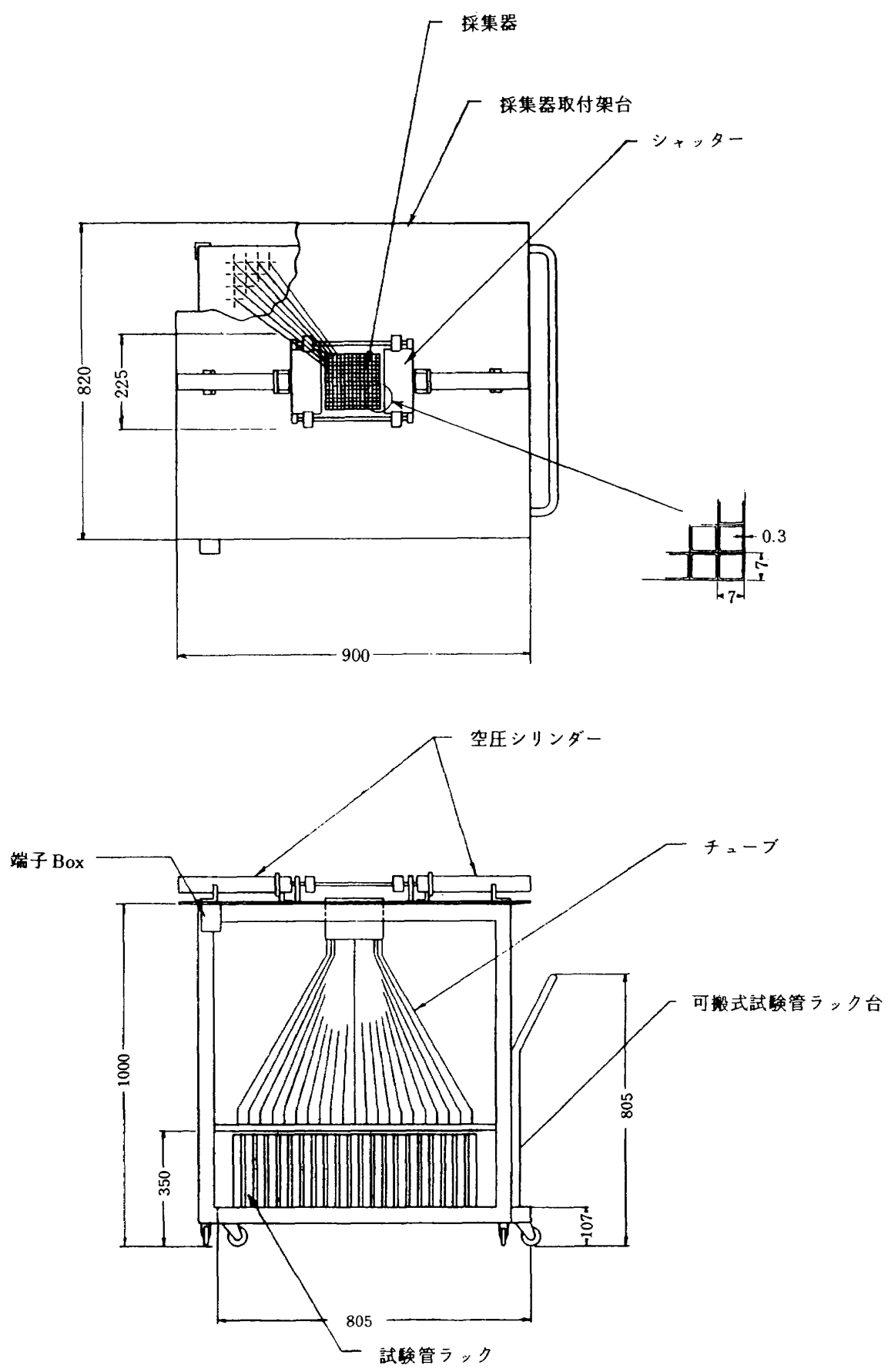


図 A-1 インジェクタ・コールドフロー試験装置

R_{sb} = 全体混合比以下の試料の混合比

MF_{sb} = 全体混合比以下の試料の質量割合

R_{sa} = 全体混合比以上の試料の混合比

MF_{sa} = 全体混合比以上の試料の質量割合

E_m は、試料混合比が全て全体混合比と等しい時に 100 % を示す。

$$\eta C_{mix}^* = \frac{\sum MF_{si} C_{thi}^*}{C_{thR}^*} \times 100 \quad (A-2)$$

ここで、

ηC_{mix}^* = 混合特性速度

MF_{si} = 試料 i の質量割合

C_{thi}^* = 試料 i の混合比での理論特性速度

C_{thR}^* = 全体混合比での理論特性速度

ηC_{mix}^* は、 $E_m = 100\%$ の場合に、100 % を示す。

但し、模擬液の混合比は以下のように補正される。異種衝突型のインジェクタの特性は Rupe¹⁻²⁾ によると、推進剤の密度比と噴射速度比の二乗および噴口径比の積に依存する。推進剤と模擬液の混合比の対応関係は、

$$\left(\frac{\rho_f V_f^2 d_f}{\rho_f V_0^2 d_0} \right)_{\text{推進剤}} = \left(\frac{\rho_f V_f^2 d_f}{\rho_0 V_0^2 d_0} \right)_{\text{模擬液}}$$

これを質量混合比 MR を用いて書きなおすと次式が成立する。

$$MR_{\text{推進剤}} = \sqrt{\left(\frac{\rho_0}{\rho_f} \right)_{\text{模擬液}} \cdot \left(\frac{\rho_f}{\rho_0} \right)_{\text{推進剤}}} \cdot MR_{\text{模擬液}} \quad (A-3)$$

付 1.2 試験結果

インジェクタ A および B の混合効率 E_m を模擬液の混合比を横軸として図 A-2 に示す。インジェクタ A は B に比し、混合効率が良く、且つ混合比依存性が小さい。インジェクタ B は、高混合比側で混合効率が低下する。 N_2O_4/MMH に換算した混合特性速度効率 ηC_{mix}^* を図 A-3 に示す。 ηC_{mix}^* は二次混合が無視できノズルスロート面で蒸発燃焼が完了した時、 ηC^* と一致する。 ηC_{mix}^* を燃焼試験で得られた ηC^* と比較すると、インジェクタ B は A に比し特性速度効率が低い事と右さがりの傾向はとらえているが混合比依存性（高混合比側での特性速度効率の低下が B で著しい）が大きすぎる。蒸発効率の検討を含め、今後の検討課題である。代表的な試験点に

ついて捕集面での混合比の空間分布図を示す。図 A-4 はインジェクタ A の $MR_E \approx 1.6$ (N_2O_4/MMH 換算) の例である。矩形マスは単位捕集管を示す。表示濃度と MR の関係は右に示したが、例えば No. 2 は $3 > MR \geq 2.5$ を表わしている。インジェクタエレメントを 2 ケの同心円上に配置した効果があり $MR \approx 1.6$ 近傍の領域が比較的広く、外周部には 8 ケのフィルムクリーリング噴口に対応した $MR \approx 0$ の領域がみられる。後述する定常性能の計算例では、

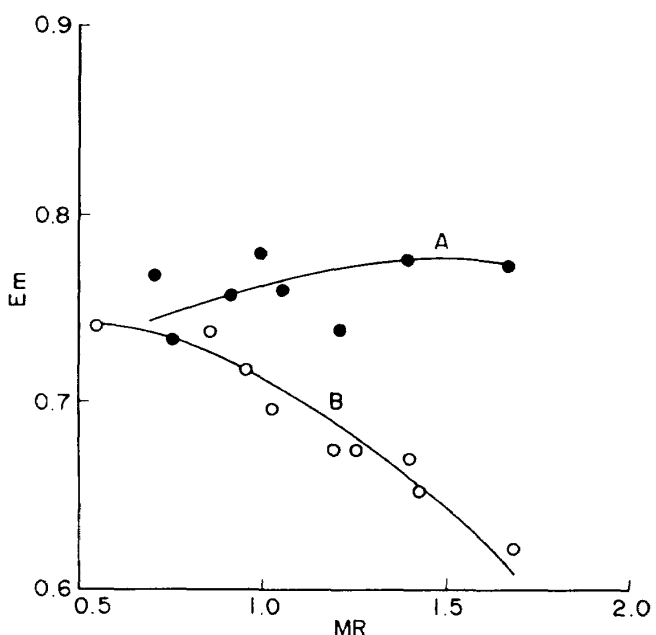


図 A-2 インジェクタ A, B の混合効率

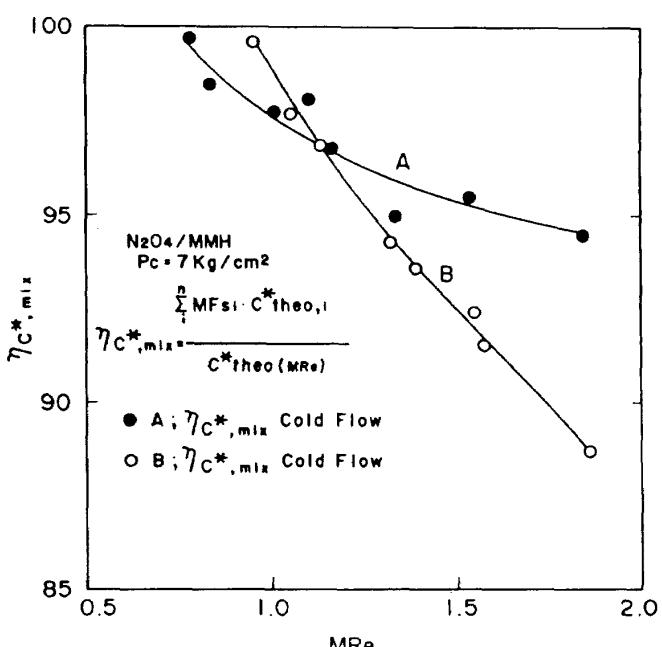
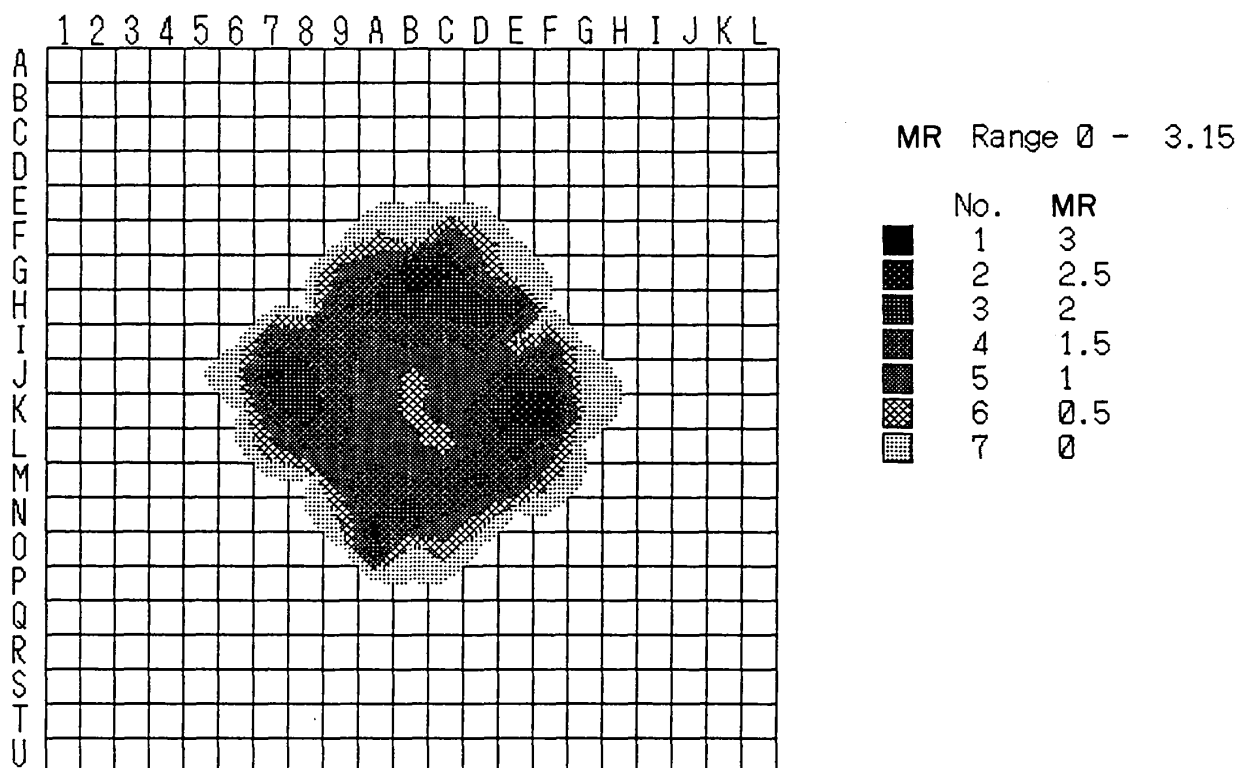


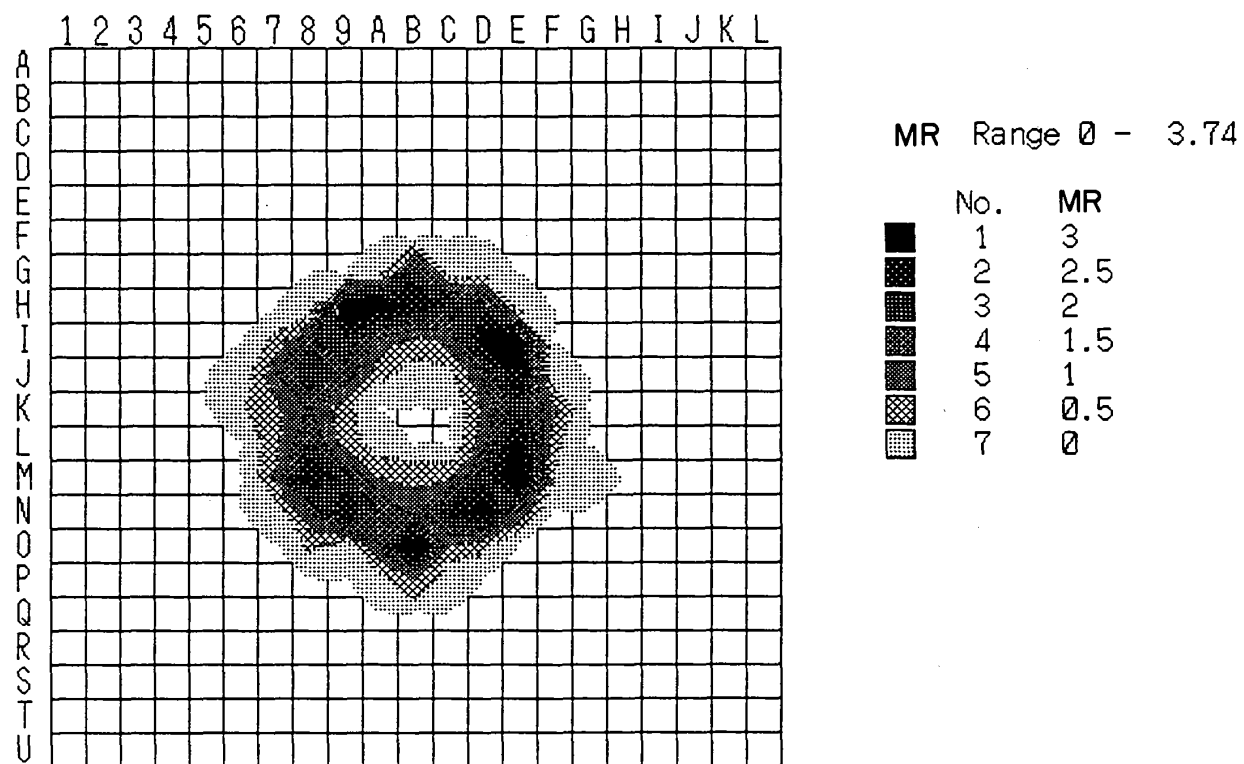
図 A-3 インジェクタ A, B の混合 C^* 効率

この試験点でのデータを入力の一部に用いた。図A-5はインジェクタBの $MR_E = 1.6$ (N_2O_4/MMH) の例である。エレメントが1ヶの円周上に配置されているため捕集面で、中心部に噴霧の到達しない領

域がある。外周部の $MR \neq 0$ の領域は広く完全に全周をカバーしている。これは、フィルムクーリング噴口が12ヶと多く且つフィルムクーリング液量が多いためである。 MR_E が同一の場合、これに対応



図A-4 混合比の空間分布例(インジェクタA, $MR_E = 1.6$, N_2O_4/MMH)



図A-5 混合比の空間分布例(インジェクタB, $MR_E = 1.6$, N_2O_4/MMH)

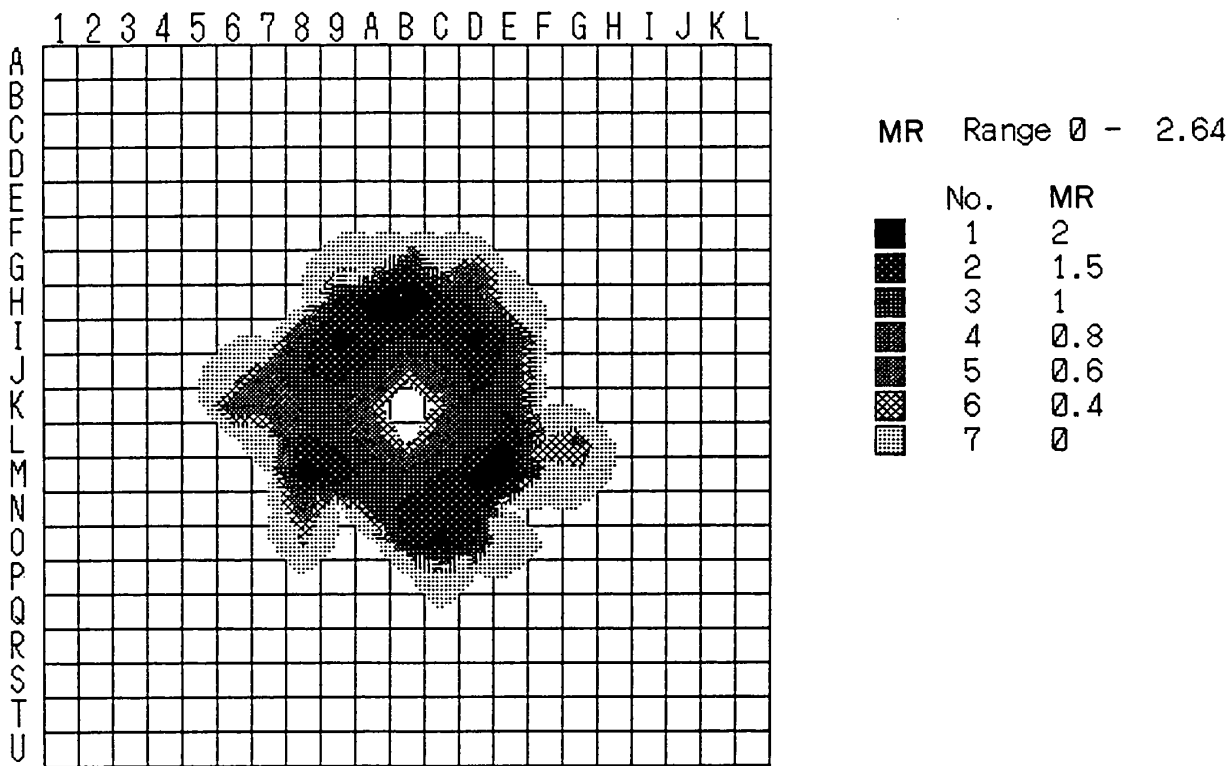


図 A-6 混合比の空間分布例 (インジェクタ B, $MR_E = 1.1$, N_2O_4/N_2H_4)

して高混合比の領域がインジェクタ A に比して広い。図 A-6 はインジェクタ B の $MR_E \approx 1.1$ (N_2O_4/N_2H_4) の例である。図 A-5 と比較すると、外周部のフィルムクーリングに対応した $MR = 0$ の領域の形状が、燃料流量の増加に伴なう噴射速度の増大に対応して変形している。

今回製作した質量分布の測定を目的としたコードフロー試験装置は、検討すべき課題は残しているが、インジェクタの特性を把握するのに有用なデータが得られる事が確認できた。

付 2. 定常燃焼性能の計算

貯蔵性二液推進剤を用いた衛星推進系の性能解析用コードとして PMPM²⁻¹⁾(Pulse-Mode Performance Model)を選定し、現状の把握を目的とした計算と検討を開始した。この選定は、上記のコードが定常性能の計算に DER²⁻²⁾(Distributed Energy Release) モデルを採用している事に留意したためである。

付 2.1 計算モデルについて

図 B-1 は今回の計算で用いた計算コードの適用

領域を示したものである。DER コードは、混合特性を計算する LISP(Liquid Injector Spray Pattern)と、それをもとに燃焼室の混合比分布を流管の集合体で置き換え各流管での推進剤の蒸発量(燃焼は蒸発律速と仮定)を計算する STC(Stream Tube Combustion)よりなる。特性速度効率は、次式で求める。

$$\eta C^* = \frac{\sum C_{th}^*(MR_{gi}) \dot{m}_i}{C_{th}^*(MR_E) \dot{m}_T} \quad (B-1)$$

ただし、

ηC^* = 特性速度効率

MR_{gi} = i 流管の蒸発推進剤の混合比

$C_{th}^*(MR_{gi})$ = i 流管の混合比で理論特性速度

\dot{m}_i = i 流管の質量流量

MR_E = 噴射推進剤の全体混合比

$C_{th}^*(MR_E)$ = 全体混合比での理論特性速度

\dot{m}_T = 噴射推進剤の全質量流量

これは、燃焼室圧から求めた ηC^* よりも、エネルギー発生効率に関しては良い近似である事が期待できる。ノズル性能の計算²⁻³⁾はエネルギー発生効率を 100 % とした TDK(Two Dimensional Kinetic)および TBL(Turbulent Boundary Layer)によりノズル効率を

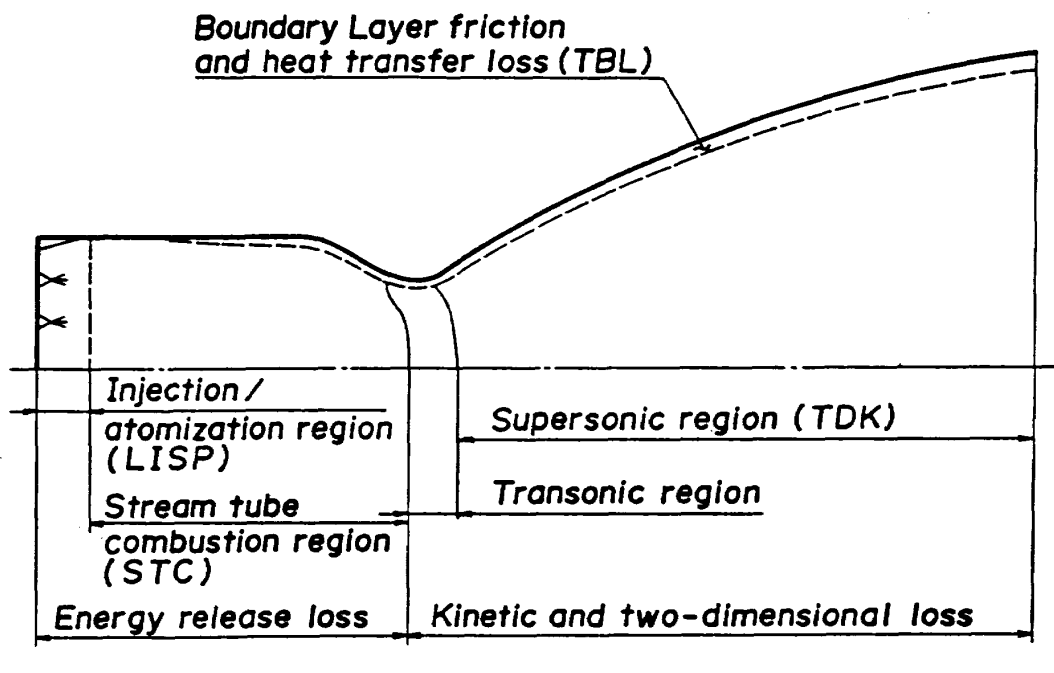


図 B - 1 性能予測計算コードと適用領域

別途計算し、比推力を推算した。

付 2.2 定常性能の試算 ($\text{N}_2\text{O}_4/\text{MMH}$)

計算ではインジェクタと推力室の諸元、推進剤と燃焼ガスの物性、理論特性速度の推力係数等の他にコールドフロー試験から得る推進剤の質量分布、粒径および粒径分布等のデータが必要である。小推力用インジェクタ特に小噴径のケースは実測値が少ない。図 B - 2 はコールドフロー試験で得られた推進剤の質量割合を各混合比について示したものである。 $\text{N}_2\text{O}_4/\text{MMH}$ 換算で $MR_E = 1.6$ の図 A - 4 で示した混合比の空間分布図に対応するものである。横軸は混合比を酸化剤割合に換算した。以下の試算では、この混合比質量分布を入力データとして用いたが、粒径分布と質量メディアン粒径については計算コードに組込まれた実験相関式を拡張して用いた。DER コードの詳細については参考文献 2 - 2 を参照されたい。

燃焼実験を行ったノズル開口比 150 の燃焼器とインジェクタ A の諸元を用い、燃焼圧 $7 \text{ kg}/\text{cm}^2$, A,

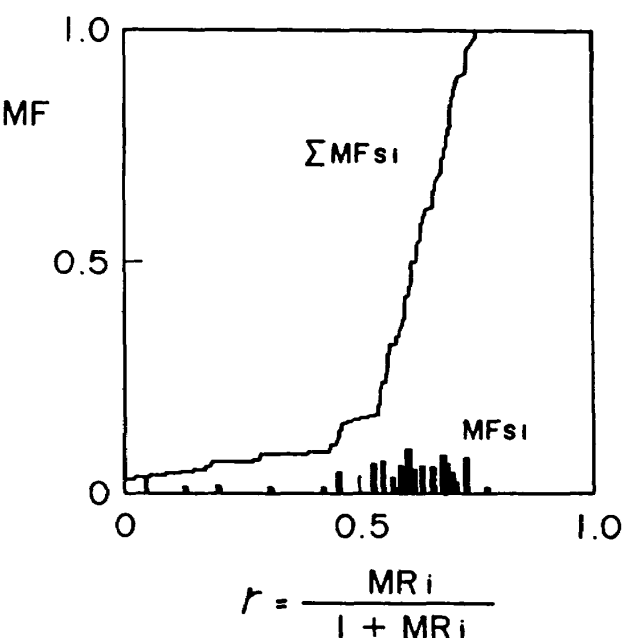
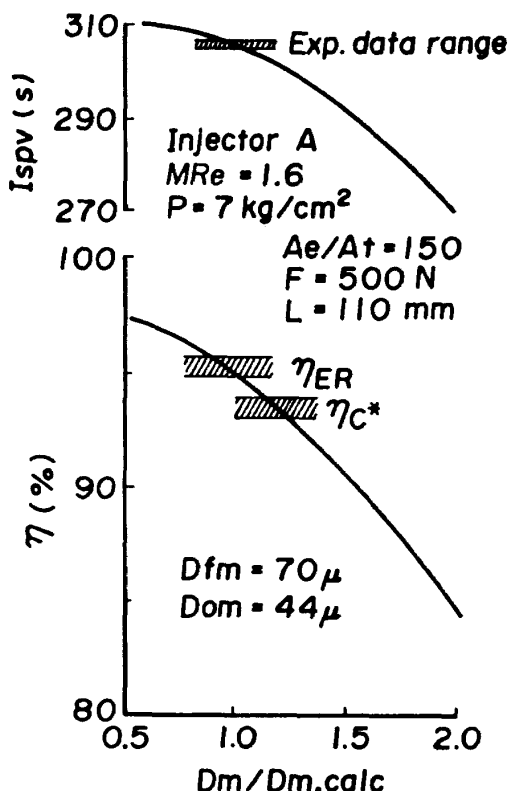


図 B - 2 推進剤と混合比の分布

混合比 $MR_E = 1.6$ (図 B - 2 の混合比対質量割合を仮定) のケースについて試算した。質量メディアン粒径は MMH で 70μ , N_2O_4 で 44μ となる。性能試算結果に対する液滴径の感度は大きい。図 B - 3

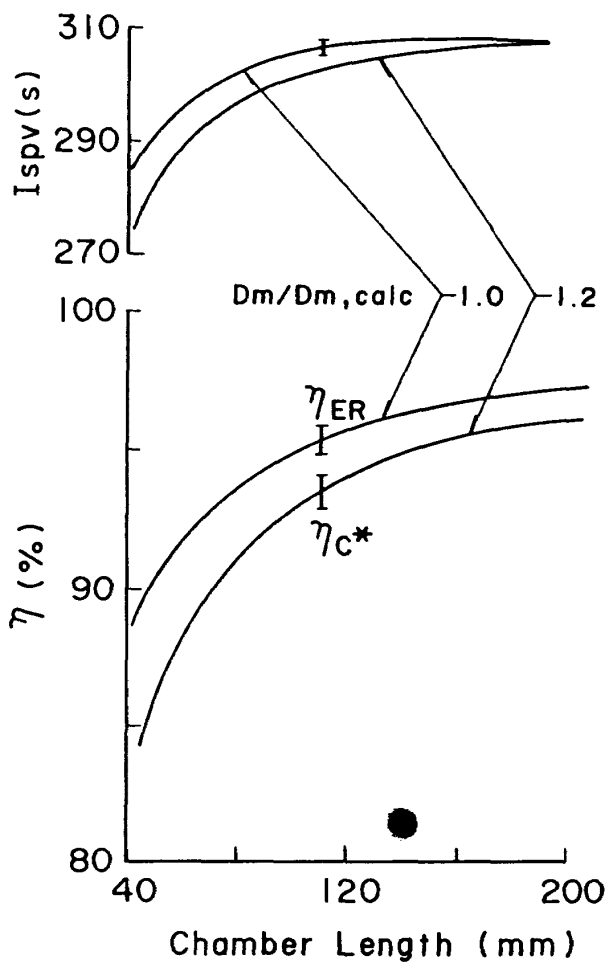


に性能に対する粒径感度の計算結果を示す。横軸は上記の質量メディアン粒径に対する倍率をとった。図中の斜線部は実験値である。倍率 1.0 のケースでは、比推力は実験値と一致するが特性速度効率は実験値よりも約 2 % 高く、低膨脹エンジンの海面高度比推力測定から得たエネルギー発生効率とほぼ一致する。特性速度効率が実験値と一致するのは倍率 1.2 のケースであるが、比推力は実測値よりも約 3.5 秒程度低くなる。燃焼圧測定から得られた特性速度効率はエネルギー発生効率と一致しない事は既に記した。
(B-1) 式がエネルギー発生効率を近似するかについては、広範囲の実験値との比較を行う必要がある。

上記の倍率 1.0 と 1.2 の粒径比を用いて推力室長さの性能に対する効果を試算した結果が図 B-4 である。推力室長さを短かくすると急激に性能が低下する事が示されているが、実験点をみると供試燃焼室長さがほぼ妥当であったと見做せる。DER コードは、今回の試算点では性能予測に有効のようであるが更に検討が必要である。

*本文 5 章参照

付一参考文献



- 1-1) Nunick, W. H. : Analysis of Sprays from Rocket Engine Injectors, J. Spacecraft, vol.8, No.7 pp 796~798
- 1-2) Rupe, J. H. : A Correlation between the Dynamic Properties of a pair of Impinging Streams and the Uniformity of Mixture ratio Distribution in the Resulting Spray, JPL Prog Rep, No.20-209, Mar 1956
- 2-1) Chadwick, W. D. and L. P. Combs : Pulse Mode Performance Model, Final Report, AFRPL-TR-72-16, Nov 1972
- 2-2) L. P. Combs : Liquid Rocket Performance Computer Model with Distributed Energy Release, Final Report, NASA CR-114402, June 1972
- 2-3) 中橋和博, 宮島 博, 木皿且人, 毛呂明夫 : ロケットノズルの性能予測法, NAL TR-771, 1983

航空宇宙技術研究所報告853号

昭和60年2月発行

**発行所 航空宇宙技術研究所
東京都調布市深大寺東町7丁目44番地1
電話武藏野三鷹(0422)47-5911(大代表)〒182**

**印刷所 株式会社三興印刷
東京都新宿区信濃町12三ツビル**

Printed in Japan